第13章 计算机视觉

信息学院(智能应用研究院) 欧新宇

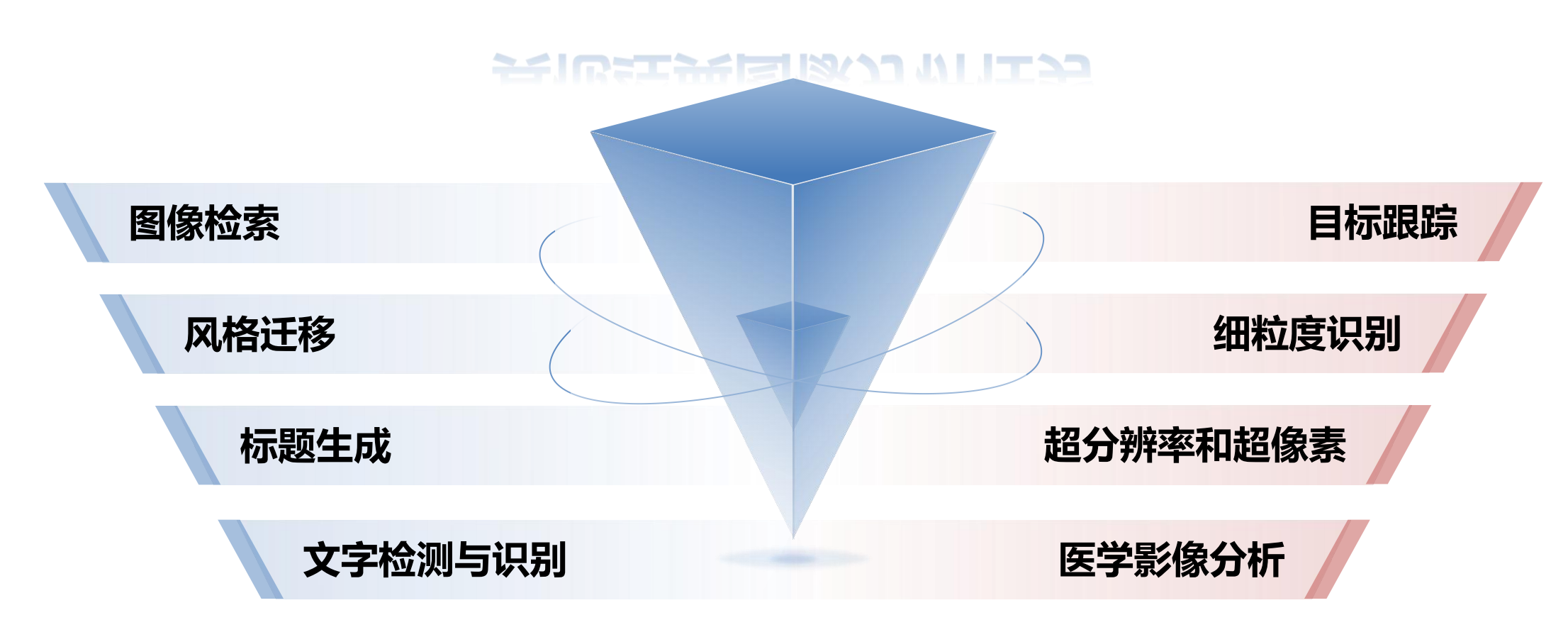






第13章 计算机视觉

其他经典图像分析任务





图像检索

图像检索概述

任务描述: 从海量的图像数据集中检索出和指定图片相匹配(相同/相似)的样本

基于内容的图像检索 (CBIR):根据图像的颜色、纹理和包含的物体、类别等信息进行

检索。



(a) 光照变化

(b)尺度变化

(c)视角变化

(d) 遮挡

(d)背景杂乱

相同物体图像检索面临的挑战





(a)类内变化巨大(湖泊)



(b)类间相似性于扰

相似类别图像检索面临的挑战

图像检索的目标

- 速度快!
- 精确度高!
- 召回率高!

相同物体图像检索和相似类别图像检索面临的挑战

手工特征 Hand Crafted Features (颜色,形状,纹理,SIFT, SURF等)



深度特征 CNN based Features (AlexNet, GoogleNet, VGGNet, ResNet等)

图像特征的进化

AlexNet

• 2012年ImageNet冠军,第一次证明CNN在复杂模型下的有效性,并且GPU使得训练在可接受的时间范围内得到结果。

VGGNet

• 2012年ImageNet的亚军,证明了小卷积的堆叠是有用的, 并且结构简单清晰。

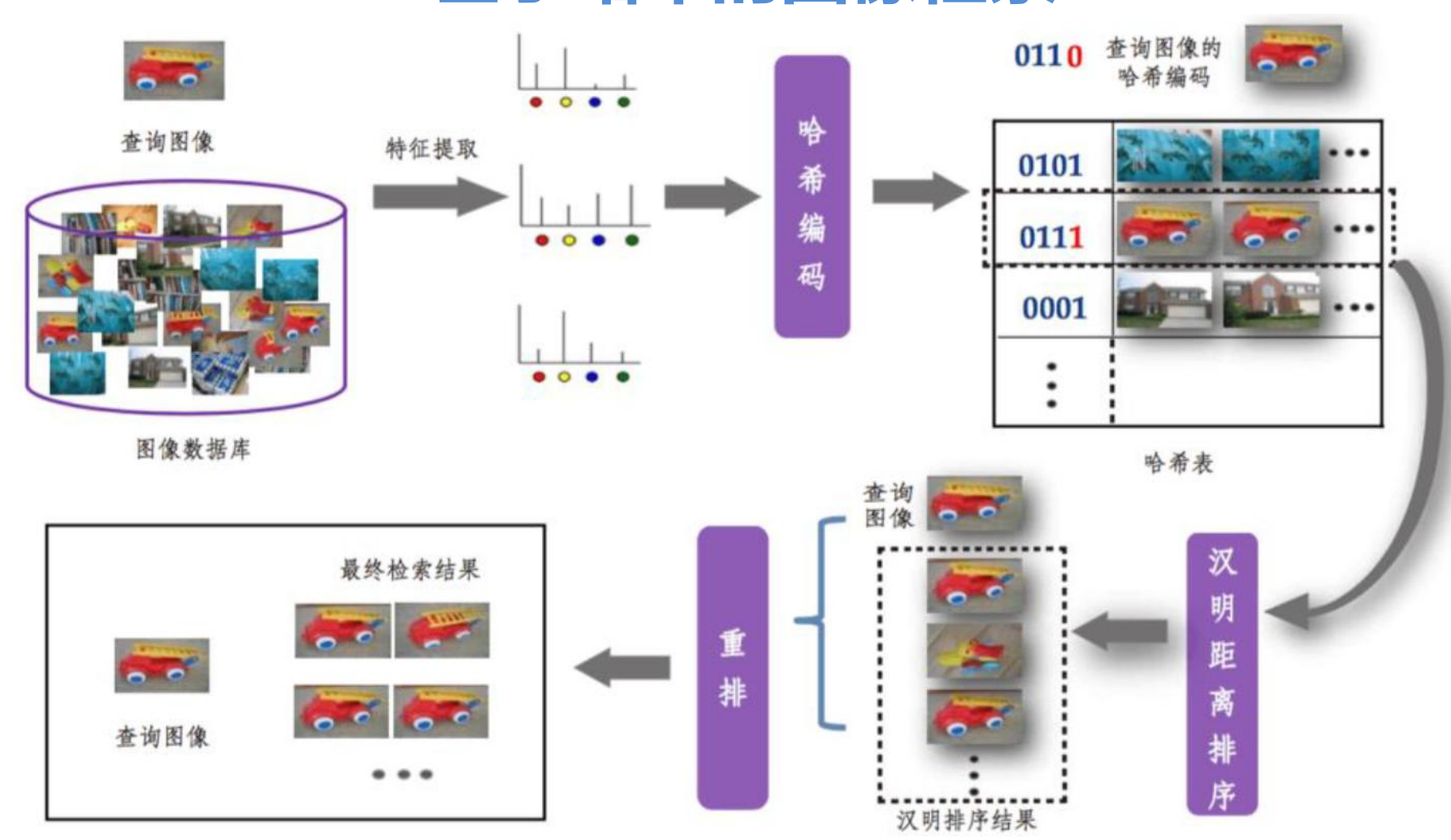
GoogleNet

• 2012年ImageNet的冠军,证明了更多的卷积,更深的层次可以得到更好的结构。精心设计的网络也可以得到更好的性能。

ResNet

• 2015年ImageNet的冠军,残差结构可以让网络变得更深

基于哈希的图像检索



二进制编码:存储小、匹配计算速度快

哈希方法简介

● 什么是图像的哈希编码?

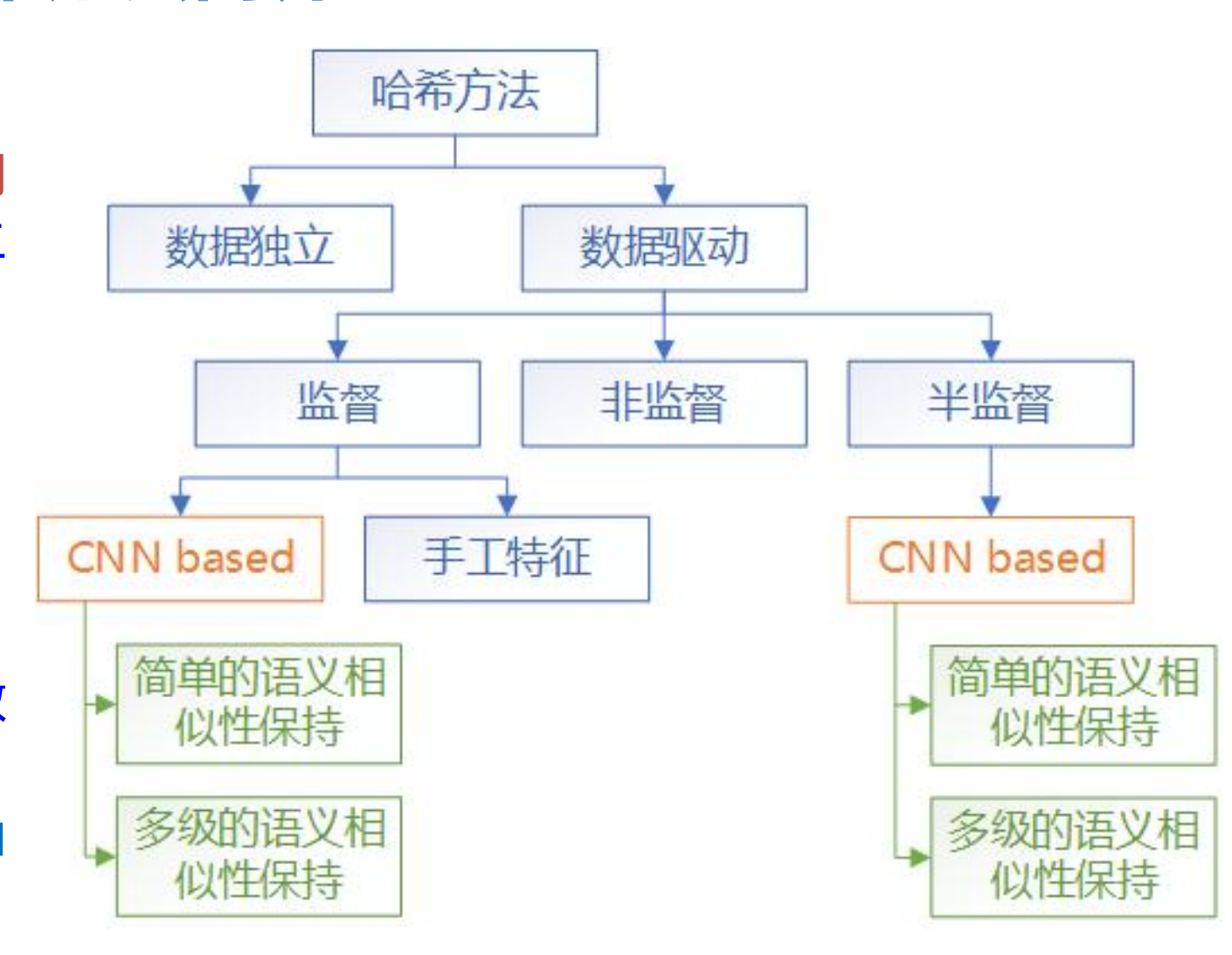
将图像的高维内容特征映射到汉明空间 (二值空间)中,生成一个低维的哈希序列(二 值序列)来表示图像。

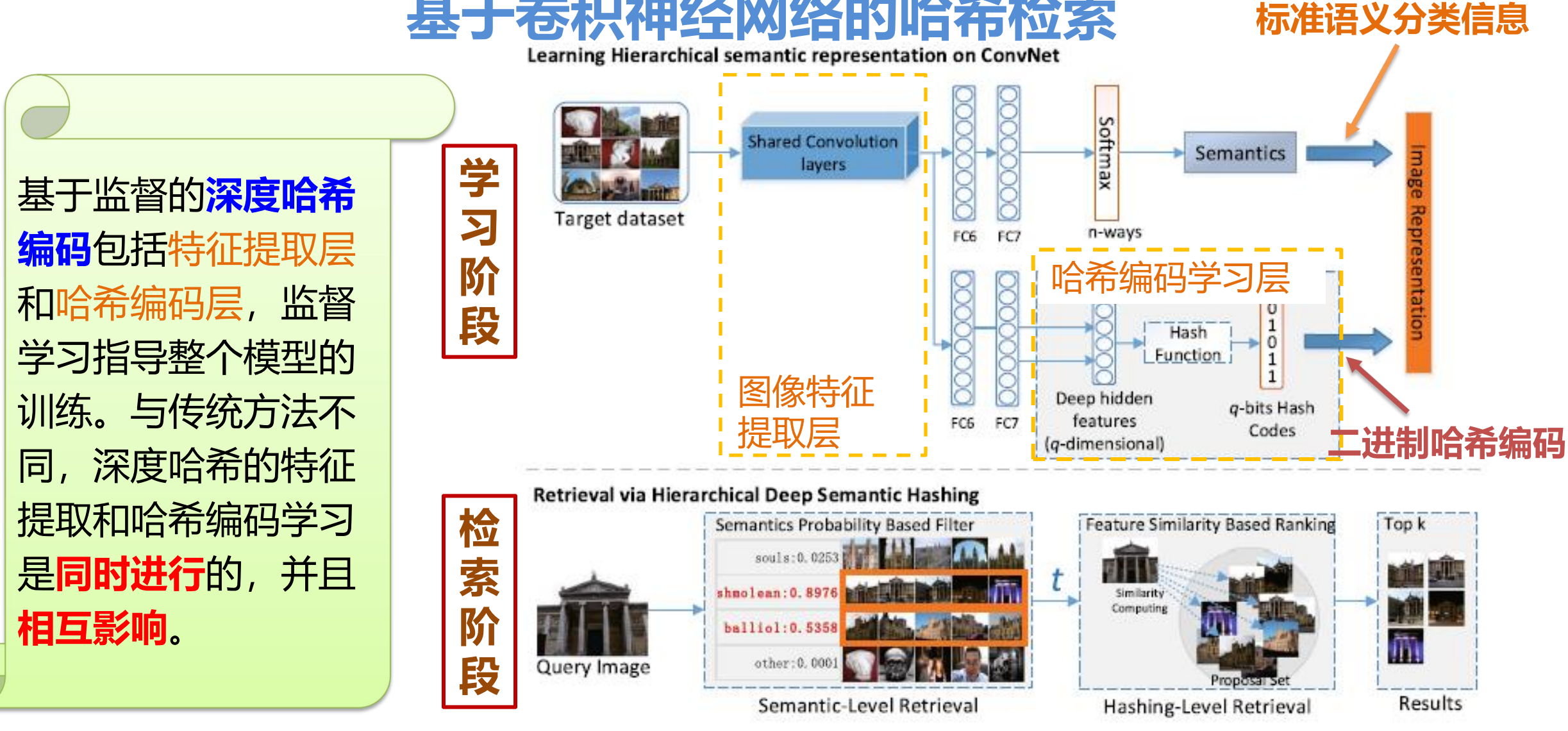
● 哈希编码有什么优势?

- 降低图像检索系统对内存空间的需求
- 提高检索速度,适应海量图片检索的需求

● 哈希编码分几个阶段?

- 阶段一:使用训练集对构造好的哈希函数 /特征生成器进行训练。
- 阶段二:将生成的样本的特征通过哈希函数转换为哈希编码。





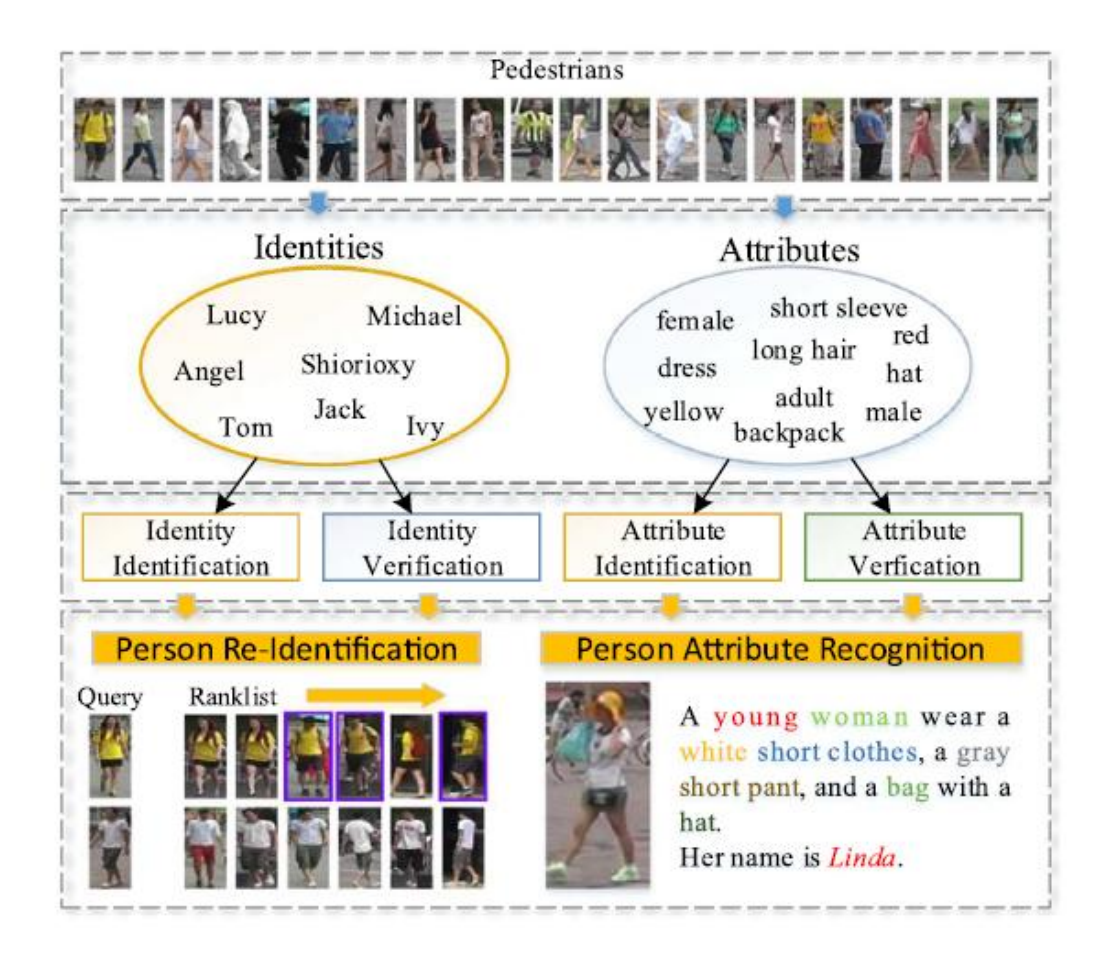
Xinyu Ou, et.al. Hierarchical Deep Semantic Hashing for Fast Image Retrieval. MTAP 2016

行人再识别

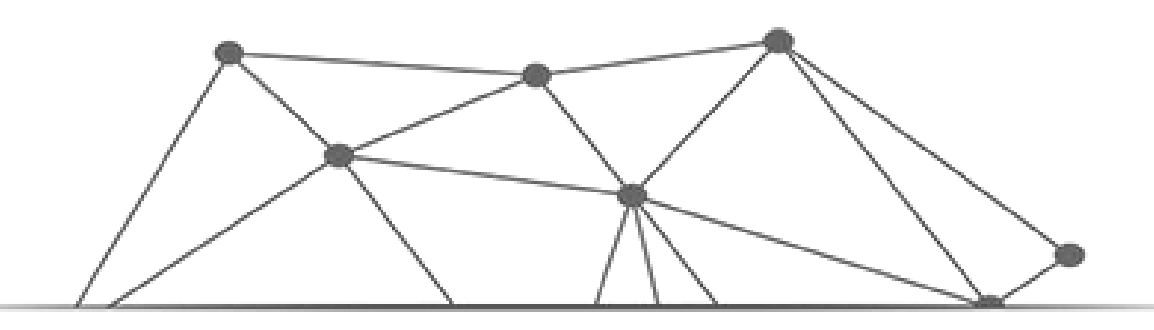
行人再识别(Person re-identification)是一类很有挑战的任务,它需要从海量的监控视频中找到给定的待检索行人。它是包含目标检索、对象识别、属性识别等多个任务的混合任务。



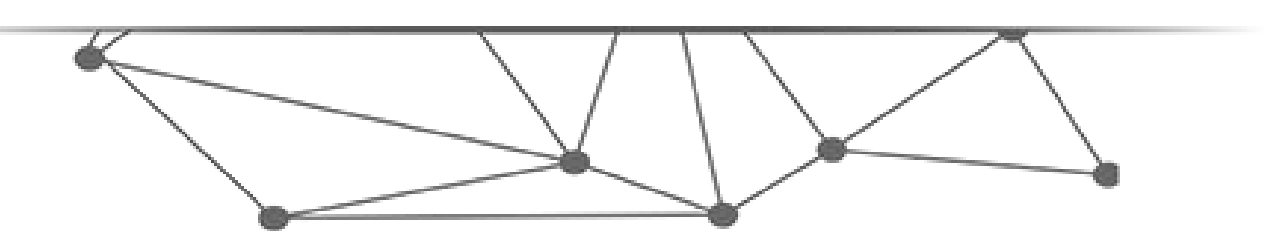




Xinyu Ou, et.al. Improving Person Re-identification by Multi-task Learning. MTAP 2019



课堂互动 13.4.1





目标跟踪概述

任务描述: 从连续的视频序列中建立跟踪目标的位置信息,得到完整的运动轨迹。给定目标的初始位置,

计算其在下一帧中的确切位置。常见应用包括<u>摄像机的跟踪对焦、无人机的自动目标跟踪、主目标跟踪</u>等。



其他经典图像分析任务

在线跟踪方法 (MD-Net)

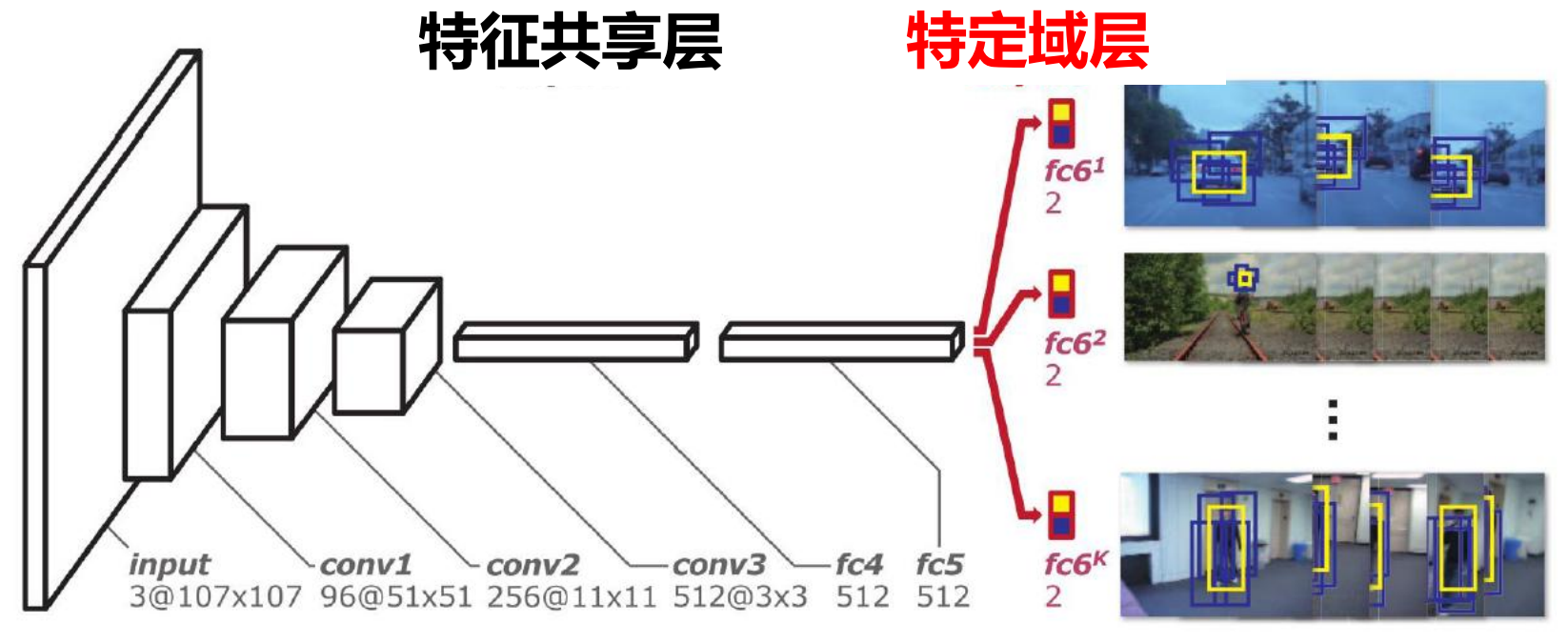
挑战: 跟踪目标具有特异性。在某序列中是目标的物体, 在其他序列中可能变为背景。

解决方案:使用CNN主干网学习共享特征,并使用分支结构学习特定目标的独有特征。

• 训练阶段

每个训练序列中提取固定尺度的图像patch,用于同时训练 CNN主干网和特定对象分支网络

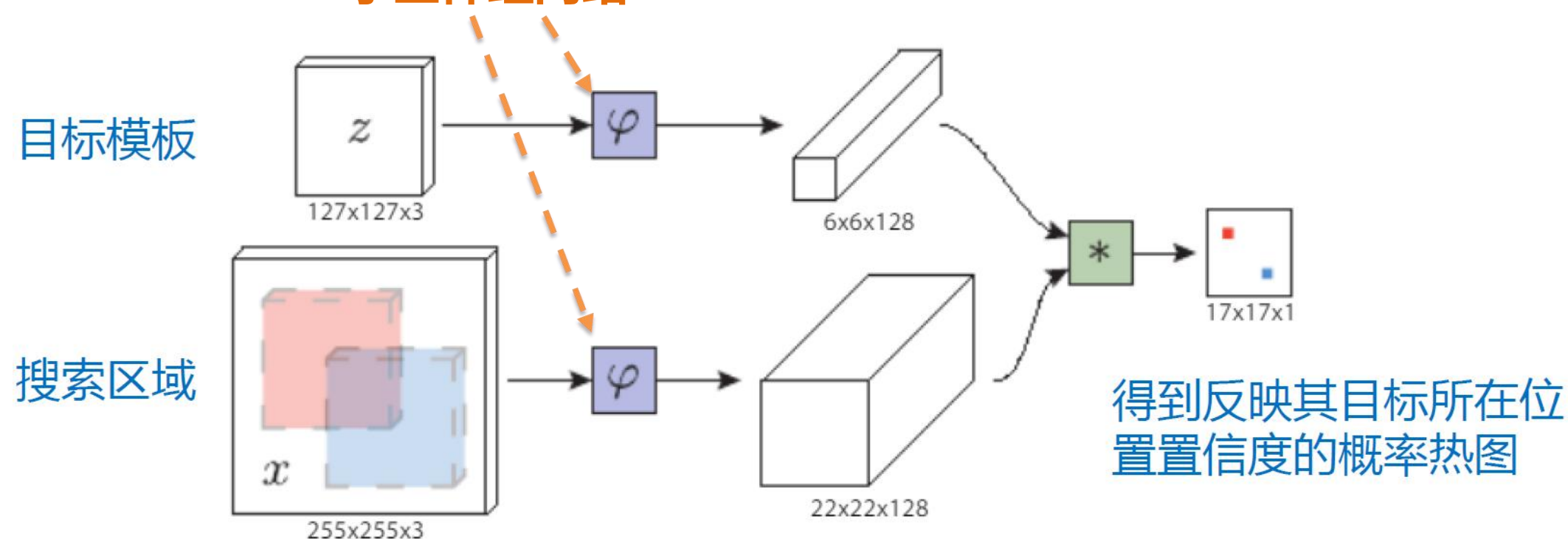
- 在线跟踪阶段
- ✓ 为在线跟踪任务新建一个fc层 用于训练*二进制分类器*
- ✓ 基于第一帧信息, 在线更新 fc4-fc6 [微调]
- ✓ 提取多个候选跟踪区域,保留 置信度最高的为检测结果



Hyeonseob Nam, Bohyung Han. Learning Multi-Domain Convolutional Neural Networks for Visual Tracking. CVPR 2016

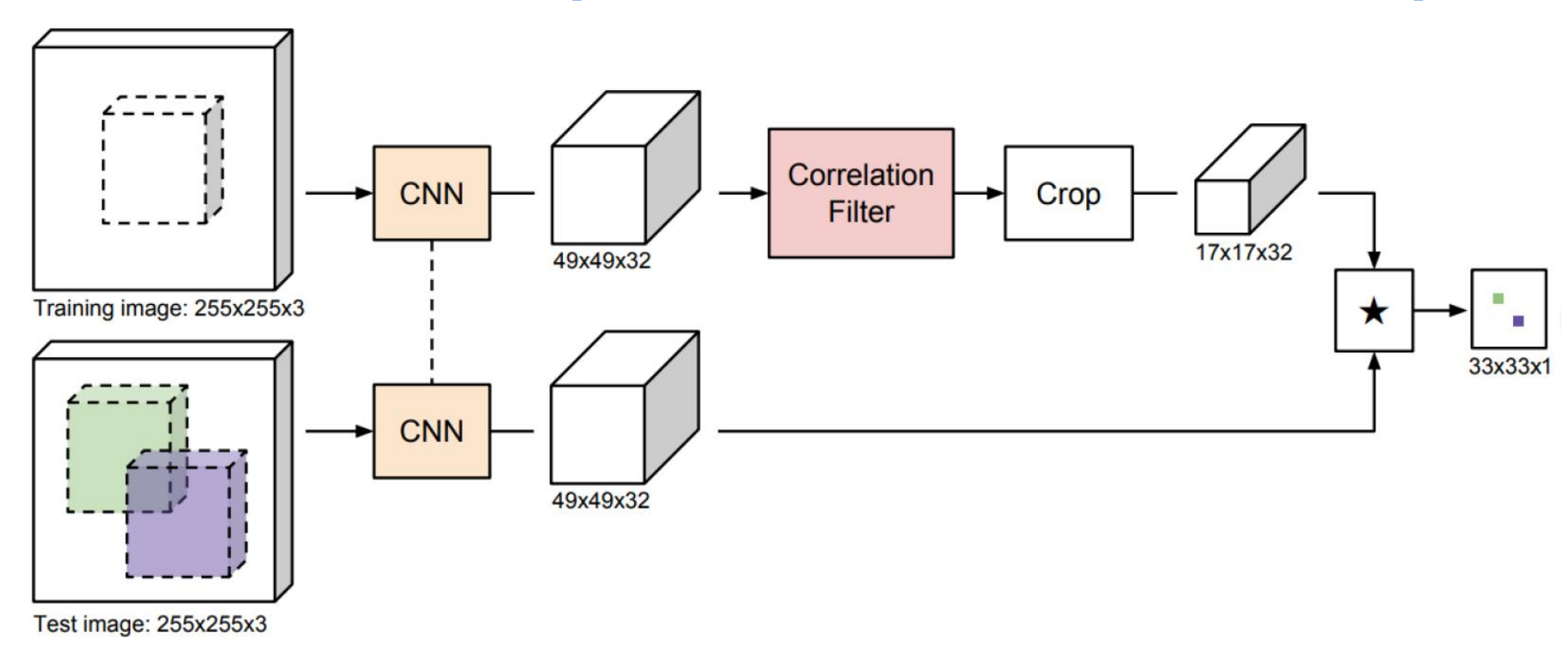
离线跟踪方法 (Siamese Network)

孪生神经网络 => Siamese

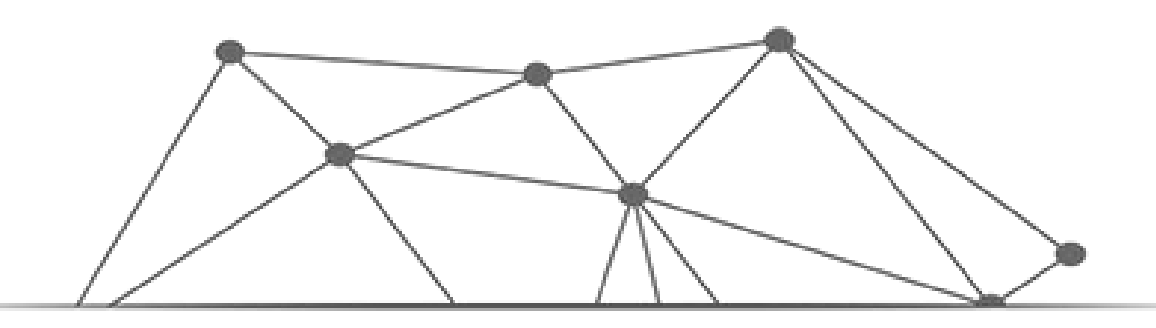


- ✓ 通过比较搜索区域与目标模板的相似度,获得概率热图
- ✓ 选取得分最高的点作为目标区域的中心点

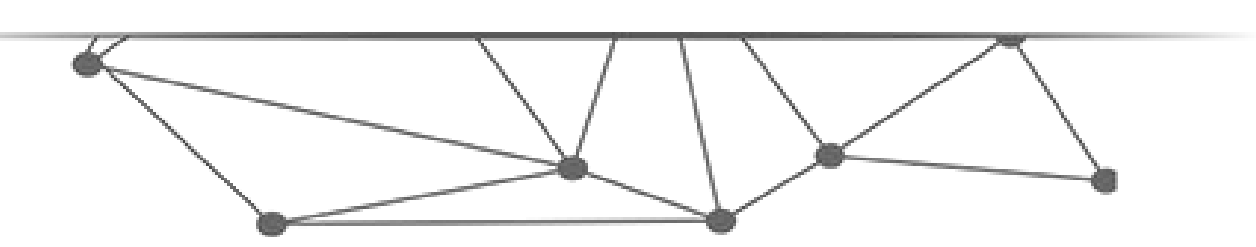
离线跟踪方法(改进的Siamese Network)



- ✓ 在Siamese网络上加入CF层(相关滤波),并且可以进行端到端的训练
- ✓ 相比在线方法,离线更新系统不需要一边测试一遍finetune,速度更快,但性能稍差,相关滤波在保证速度的同时提升了性能。



课堂互动 13.4.2





图像风格迁移

图像的信息来源于内容(Content)和风格(Style),内容体现的是结构、轮廓信息;风格体现的是纹理、样式信息。



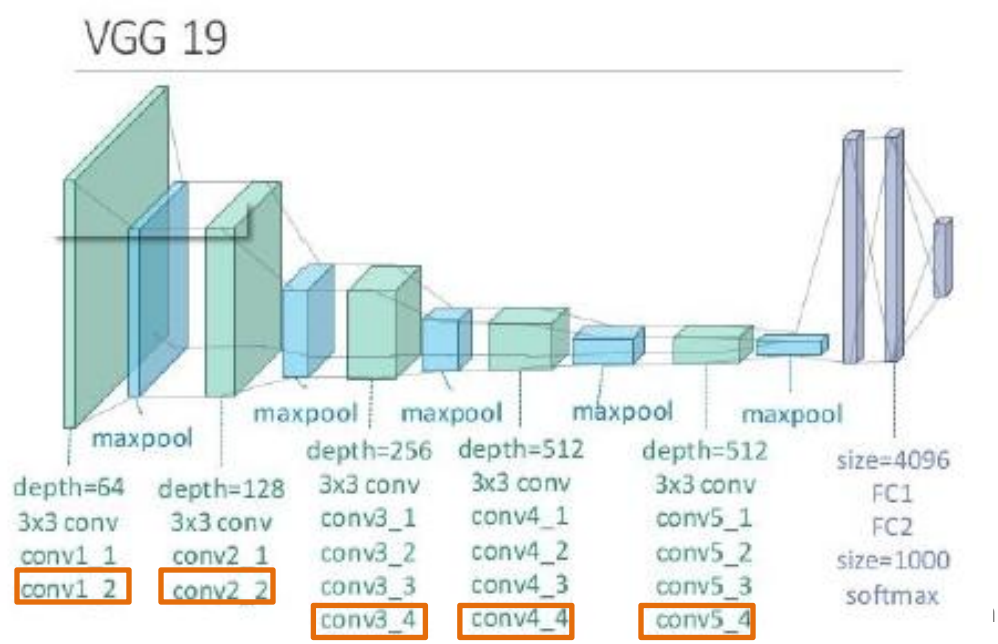
对于喜欢的绘画风格,怎么将其风格搬到另外一张图片上呢?

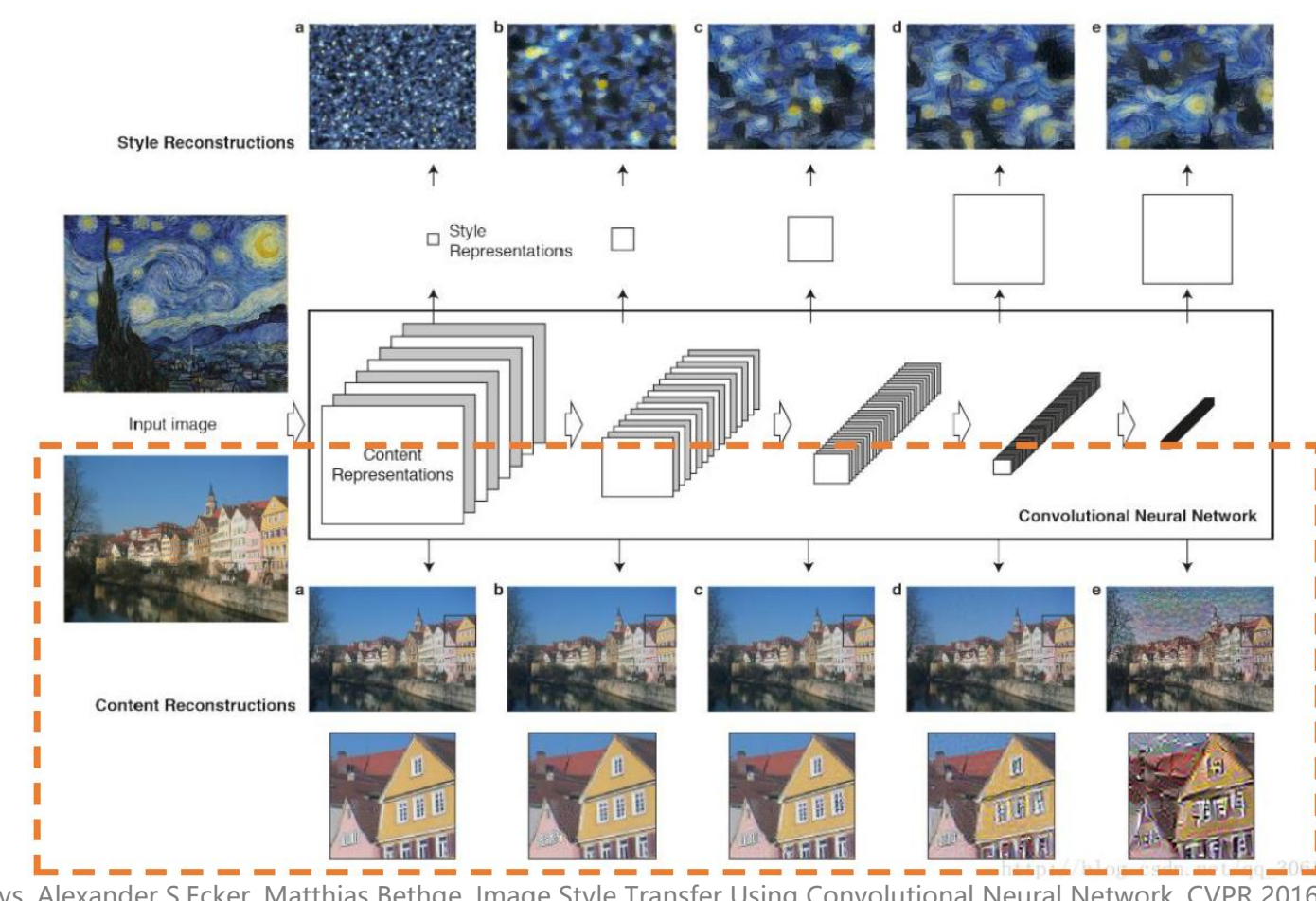
CVPR 2016

如何描述一张图的绘画内容

1. 确保新生成的图保留原本的内容大致不变: 内容保持。

CNN的特征图是输入在不同层次上的表 达, 因此可以直接用来作为**内容保持**的表 征形式。





A. Gatys, Alexander S.Ecker, Matthias Bethge. Image Style Transfer Using Convolutional Neural Network. CVPR 2016

如何描述一张图的绘画风格

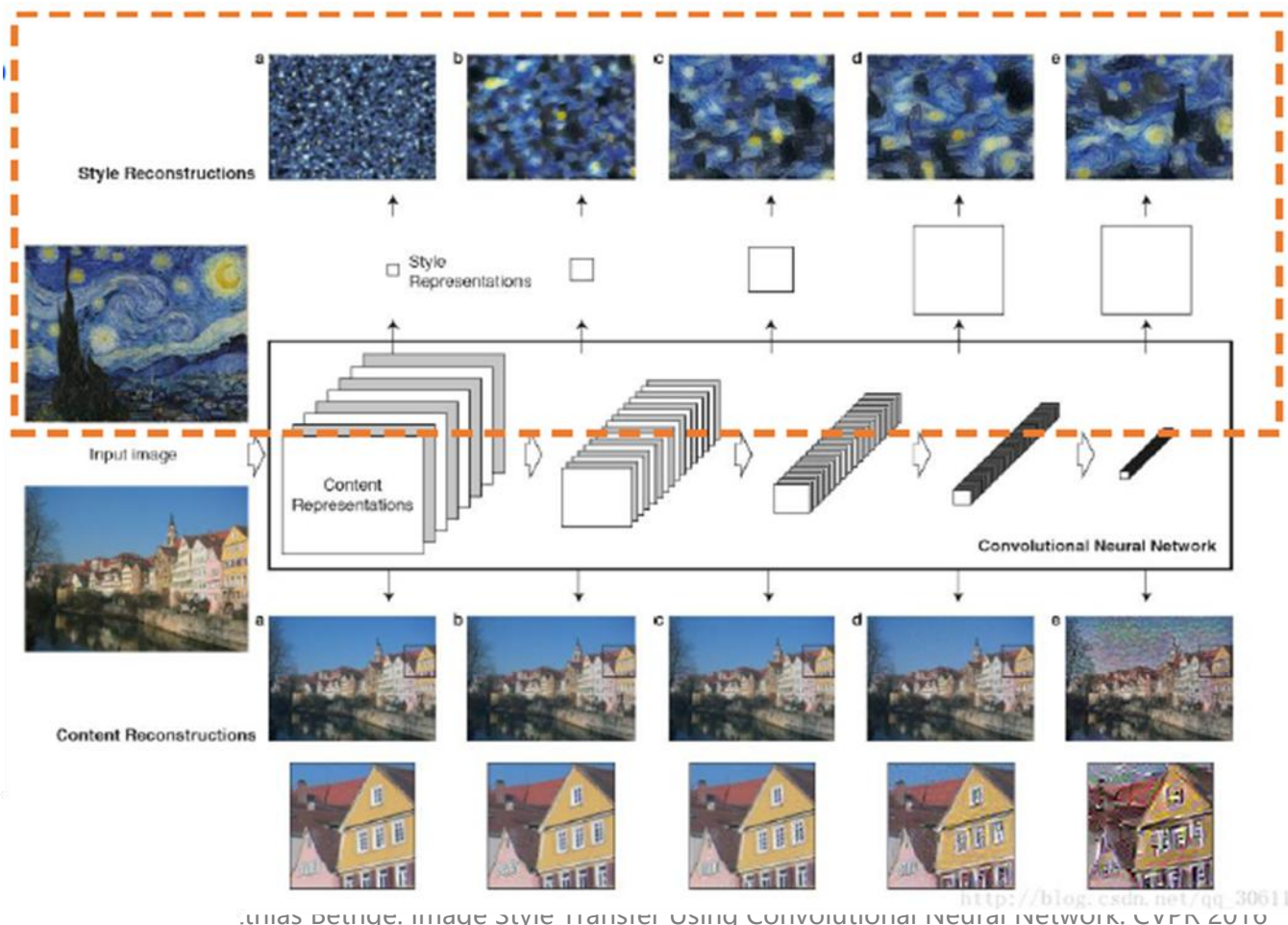
2. 确保新生成的图能够获取到参考样本的样式或风格: 风格迁移

如何使用 feature map获得风格呢?

在绘图中,风格可以理解为样本的纹理。 对于某一隐层,假设包含N个通道,每个通道的 尺度为H×W。则,两两间的内积的和可以作为 该层的纹理(Texture)矩阵,数学上称为Gram 矩阵:

$$G_{i,j}^l = \sum_k F_i^l[k] \cdot F_j^l[k]$$

其中,F表示展开成1D的特征图。



Leon A. Gatys, A

linas demige, image style mansier

ouxinyu@alumni.hust.edu.cn

如何权衡内容和风格

● 目标函数

 $L_{total} = \alpha L_{content} + \beta L_{style}$

- □ 图像的内容和风格信息是无法完全地分开,但是可以在学习模板图像的内容或风格信息时,通过 最小化损失函数来实现两种信息的有机融合。
- 通过调节权重,还可以调节内容和风格的侧重点。
- □ 内容和风格可以来源于同一幅图像,也可以来源于不同图像。
- □不同层具有不同粒度的风格













Leon A. Gatys, Alexander S.Ecker, Matthias Bethge. I

如何获得风格转换后的图像

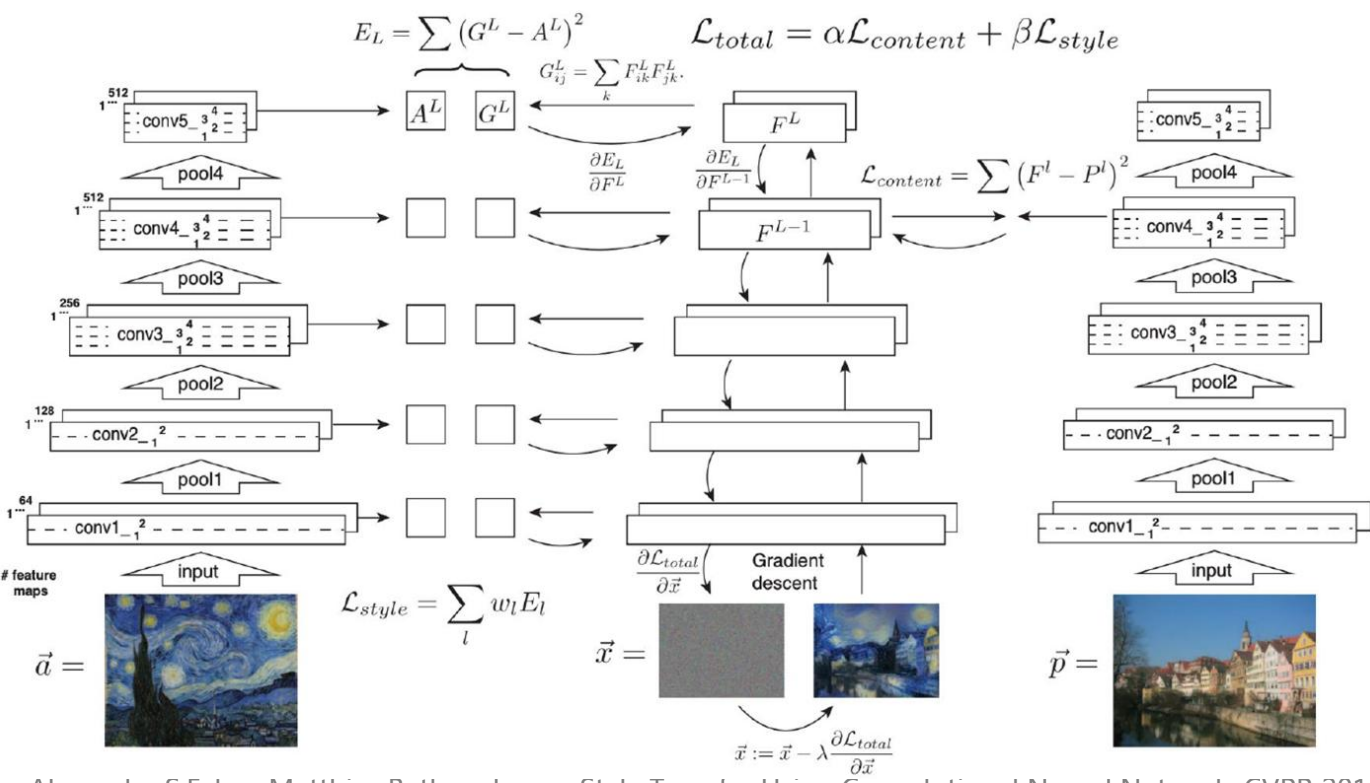
● 内容分支

内容图像的每个层都会生成feature map,通常经验选取最清晰层的卷积特征图与生成图像计算均方误差,获得内容损失。

● 风格分支

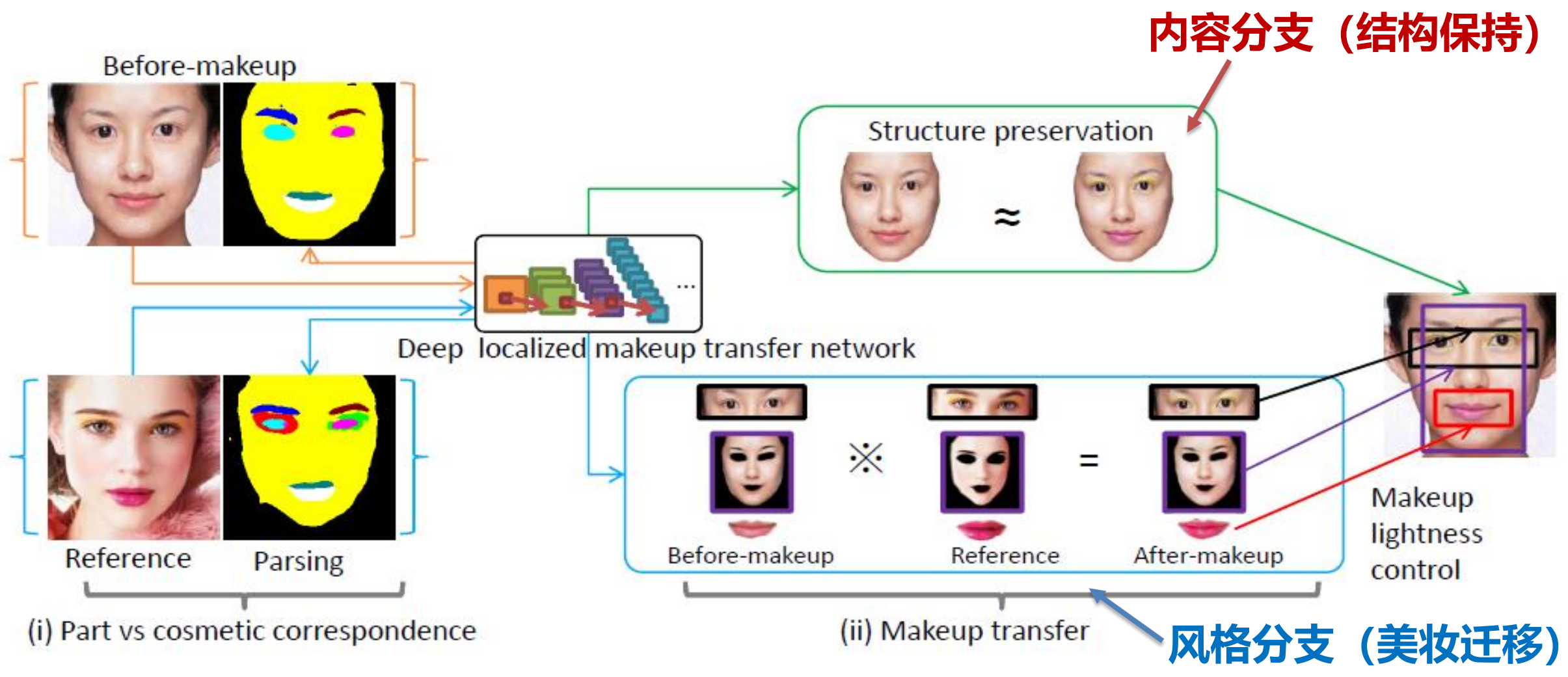
风格图像的每个层也会生成feature map, 通常会混合多个层的特征和生成图像之间的Gram矩阵来计算风格损失。

风格转换是一种生成算法,它从<mark>高斯白噪声</mark>开始, <mark>逐渐生成一张合成图像(风格化图像)。</mark>



Leon A. Gatys, Alexander S.Ecker, Matthias Bethge. Image Style Transfer Using Convolutional Neural Network. CVPR 2016

风格迁移的应用 – 美妆迁移



Si Liu, Xinyu Ou, Ruihe Qian, Wei Wang, Xiaocun Cao. Makeup like a superstar: Deep localized makeup transfer network. IJCAI 2016 Xinyu Ou, Si Liu, Xiaochun Cao, Hefei Ling. Beauty eMakeup: A deep makeup transfer system. ACMMM 2016

$$A^* = \underset{A \in \mathbb{R}^{H \times W \times C}}{\operatorname{argmin}} \lambda_l \left(R_{up}(A) + R_{low}(A) \right) + \lambda_f R_f(A) + \lambda_s R_s(A) + \lambda_e \left(R_l(A) + R_r(A) \right) + R_{V^{\beta}}(A)$$

唇彩和粉底迁移:

$$A^* = \underset{A \in \mathbb{R}^{H \times W \times C}}{\operatorname{argmin}} \sum_{l=1}^{L} \left\| \Omega_{ij}^{l} (A(s_b')) - \Omega_{ij}^{l} (\mathbb{R}(s_r')) \right\|_{2}^{2}$$

人脸结构保持和眼影迁移:

$$A^* = \underset{A \in \mathbb{R}^{H \times W \times C}}{\operatorname{argmin}} \left\| P\left(\Omega^l(A(s_b'))\right) - P\left(\Omega^l(R(s_r'))\right) \right\|_2^2$$

总方差:

$$R_{V^{\beta}}(A) = \sum_{i,j} \left(\left(A_{i,j+1} - A_{ij} \right)^2 + \left(A_{i+1,j} - A_{ij} \right)^2 \right)^{\frac{\beta}{2}}$$

Si Liu, Xinyu O

风格迁







Si Liu, Xiny Pu, Ruje 36 Si Liu, Xiny Pu, Ruje



什么是细粒度识别



细粒度分类模型 Mask-CNN

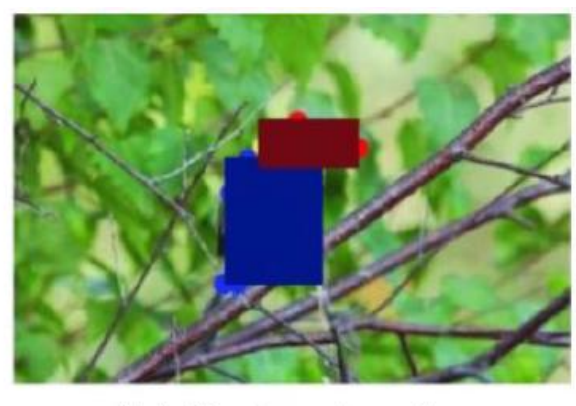
Caltech-UCSD Birds-200

数据集包含:

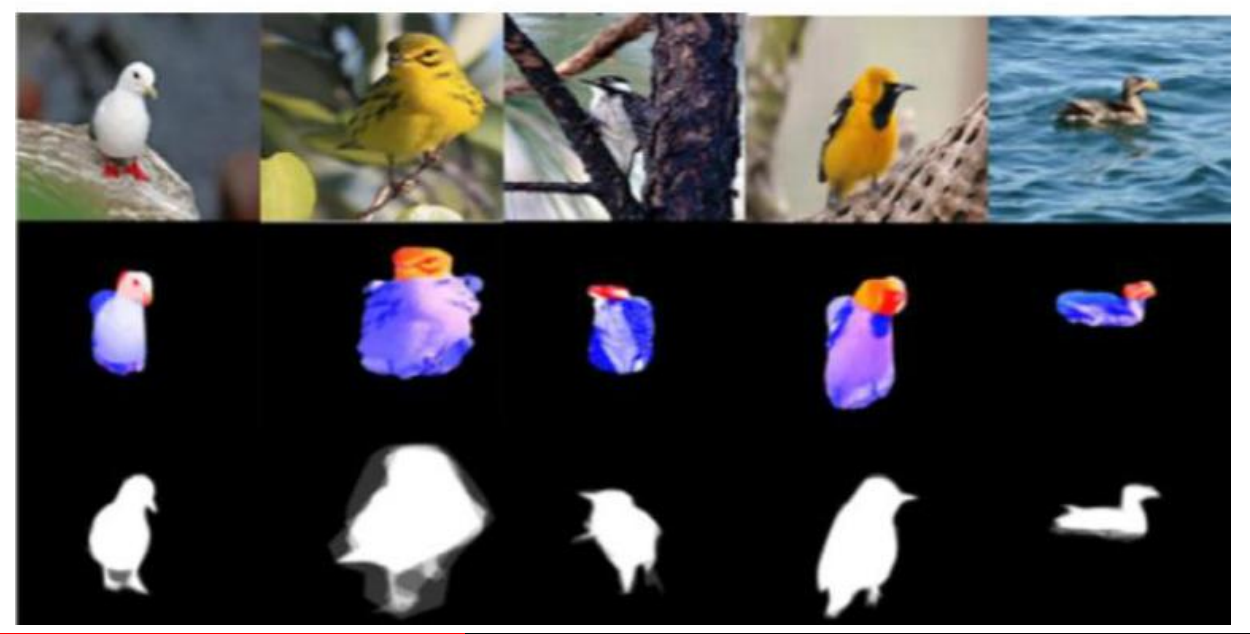
- □类别标注
- □ 部件标注(15parts/image)
- □ 总共322种二进制属性。



(a) Part annotations



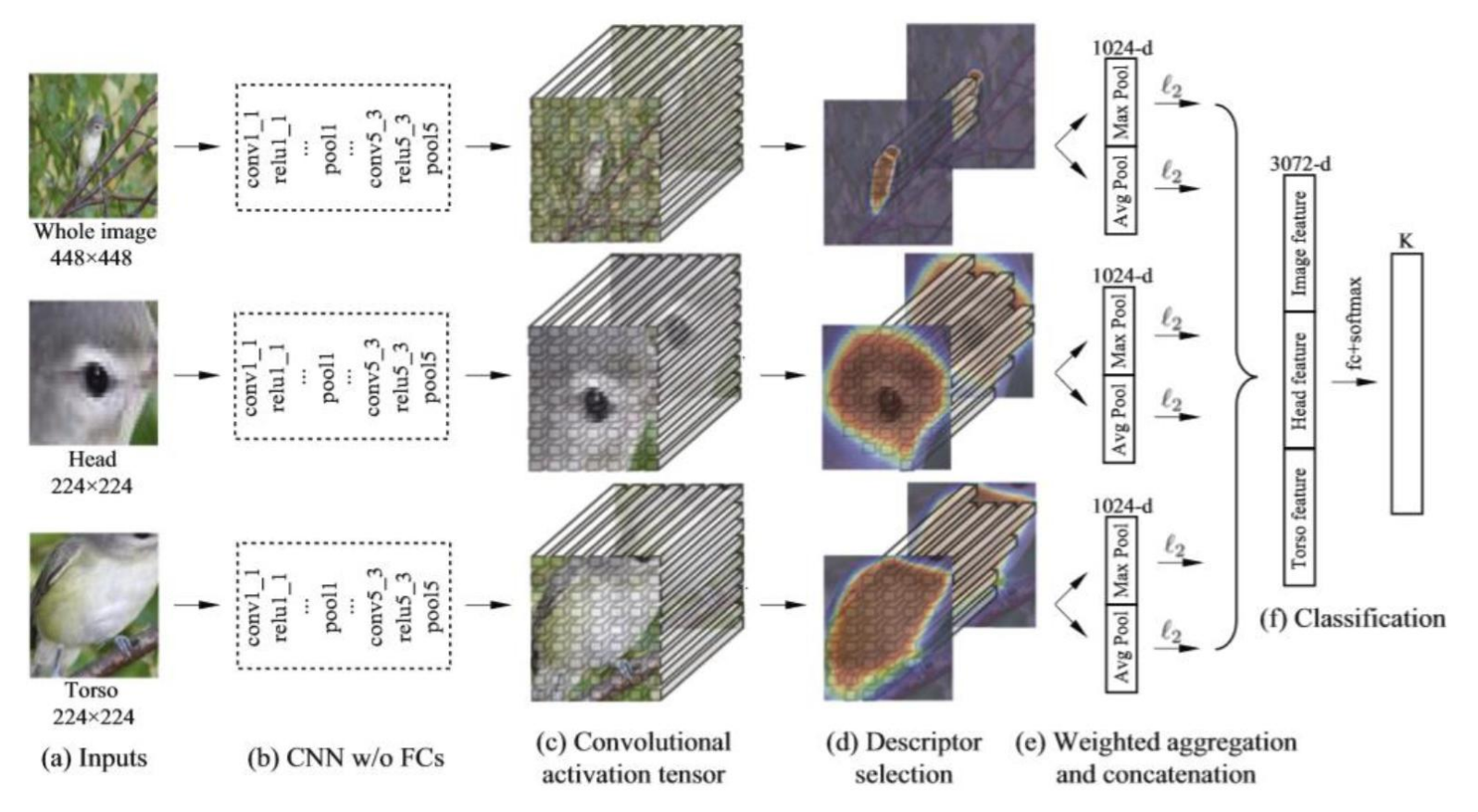
(b) Part rectangles



细粒度分类模型 Mask-CNN

Mask-CNN

- 将部件标注转换为边界框 (头部/躯干),并作为 mask-GT
- Mask-CNN分为三个流,分 别处理原图、头、躯干
- 三个分支分别使用VGG进行 特征提取,最后组合后作为 样本的总特征



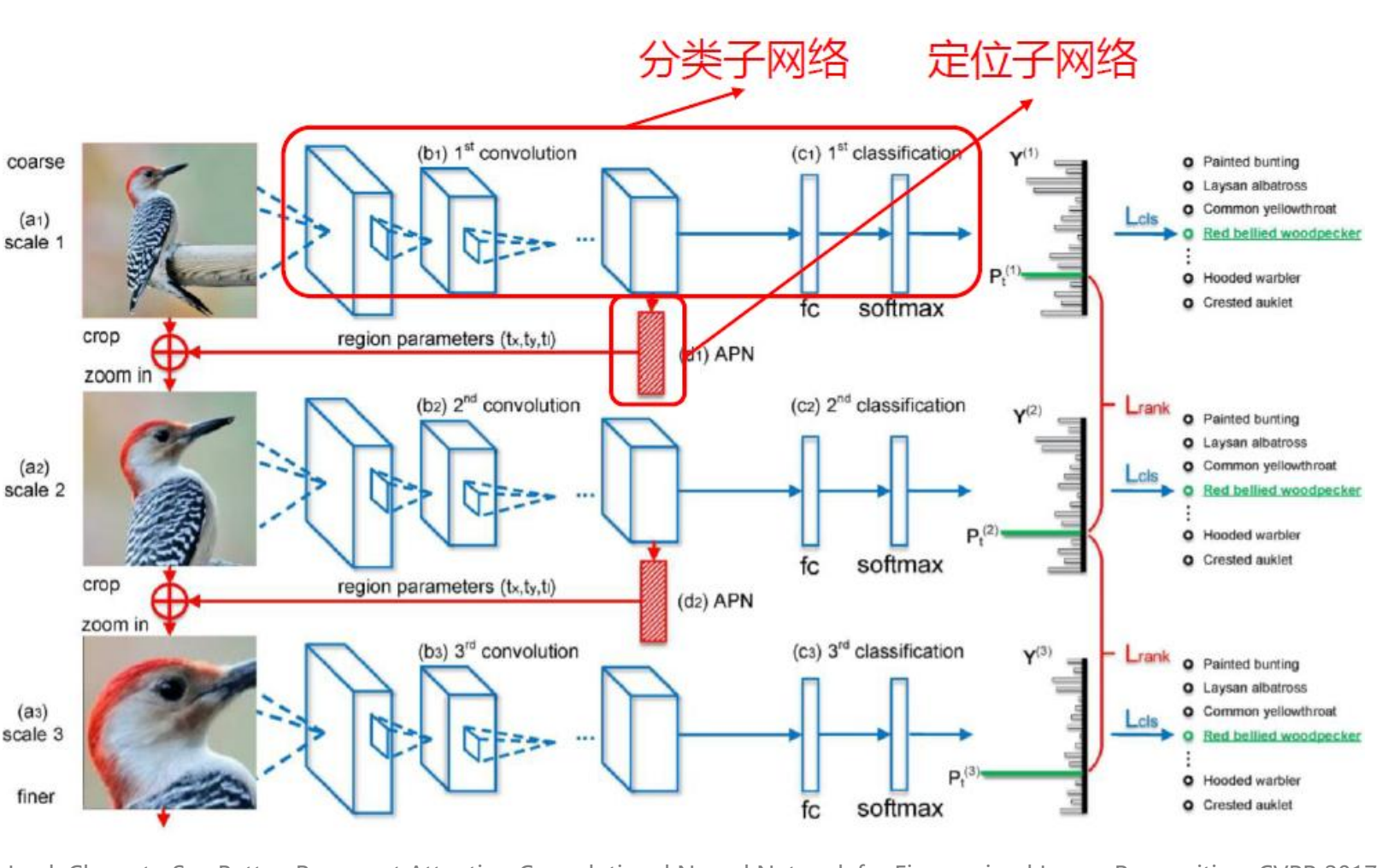
缺点:需要部件和掩膜标注

Xinshen Wei, Chenwei Xie, Jianxin Wu, Chunhua Shen. Mask-CNN: Localizing parts and selecting descriptors for fine-grained bird species categorization. Pattern Recognition 2018

细粒度分类模型 RA-CNN

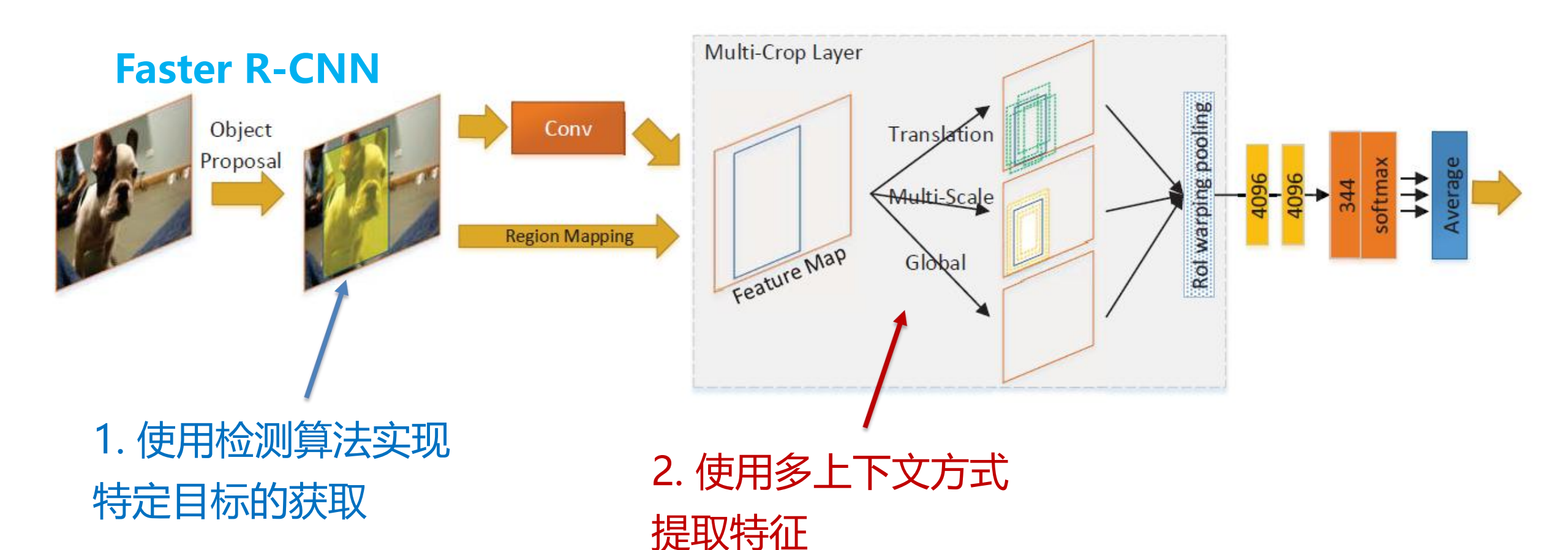
RA-CNN

- 使用**弱监督方法**逐层精化注 編 意力区域,并使用多损失函数提高识别性能
- 注意力建议网络(APN),用 scale 2 于提取注意力(Attention)区 域
- 排序损失(Rank Loss),提 取置信度最高的类别

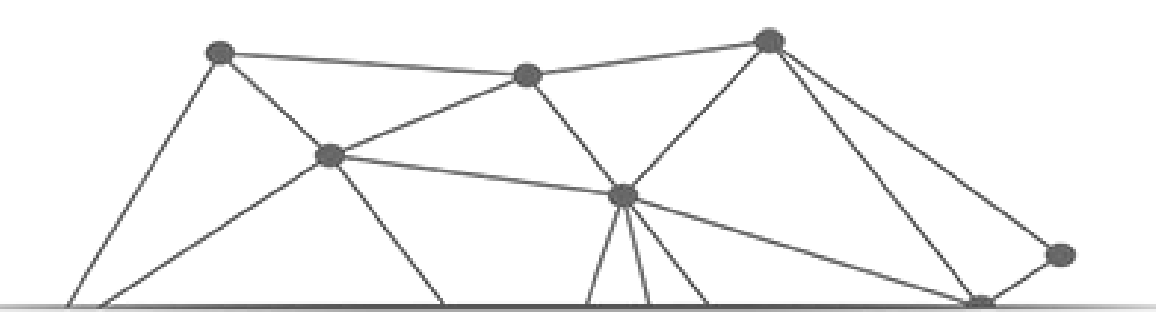


Jianlong Fu, Heliang Zheng, Tao Mei. Look Closer to See Better: Recurrent Attention Convolutional Neural Network for Fine-grained Image Recognition. CVPR 2017

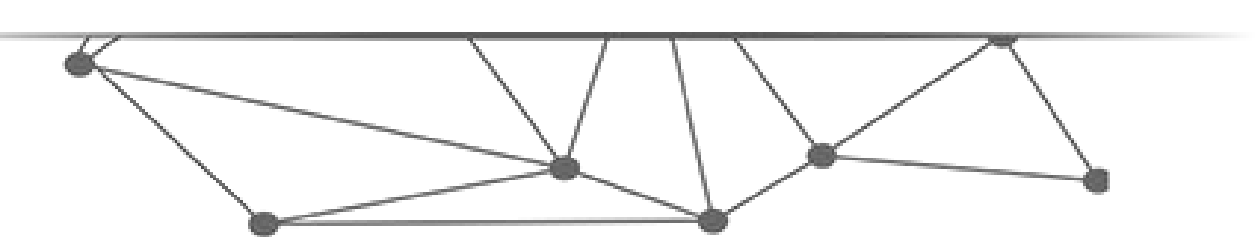
细粒度分类模型 Deep Multi-Context Network

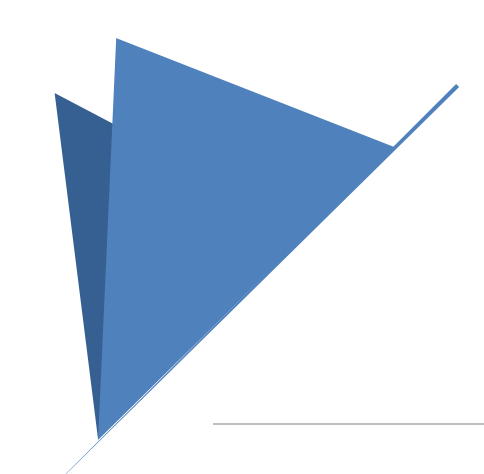


Xinyu Ou, Zheng Wei, Hefei Ling, Si Liu, Xiaochun Cao. Deep multi-context Network for fine-grained visual recognition. ICME 2016



课堂互动 13.4.3





标题生成

标题生成

什么是图像标题生成 (Image Caption)

输入:图片

输出:对图片进行描述的文本

步骤:

- 1. 理解图片的内容和含义
- 2. 在内容和语言之间建立语义 关联
- 3. 基于语义生成文字描述



Two people are walking down at river in a wooded area

MS Captivator

基本方法

- 1. Detect words:使用目标检测算法和属性识别算法实现对象和属性的识别,构造实体词;
- 2. Generate Sentences: 使用多实例学习 (Multiple Instance Learning, MIL)的弱监督算法进行造句
- 3. Re-rank Sentences: 重整句子结构

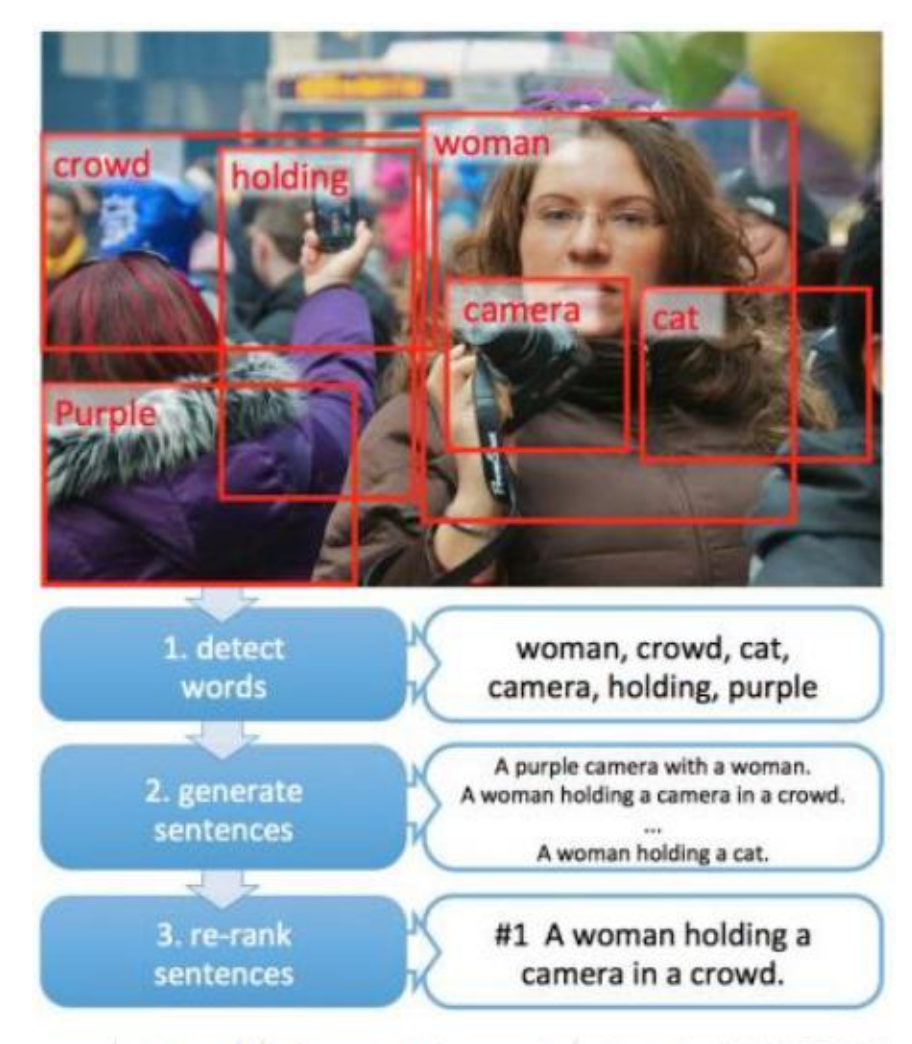
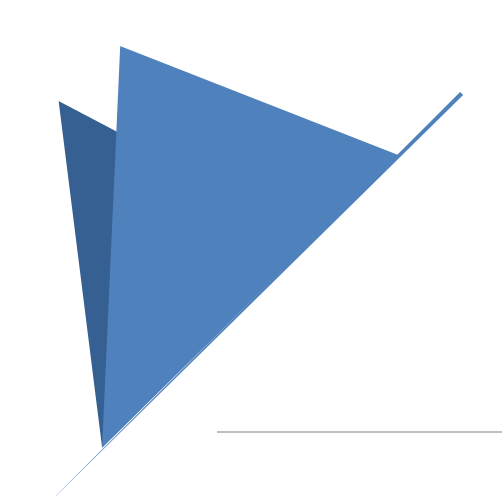


Figure 1. An illustrative example of our pipeline.



图像超分辨率和超像素

什么是图像超分辨率



图像超分辨率是指由一幅/多幅低分辨率图像或图像序列恢复出高分辨率图像

常见的图像超分辨率应用



监控视频优化



老电影修复











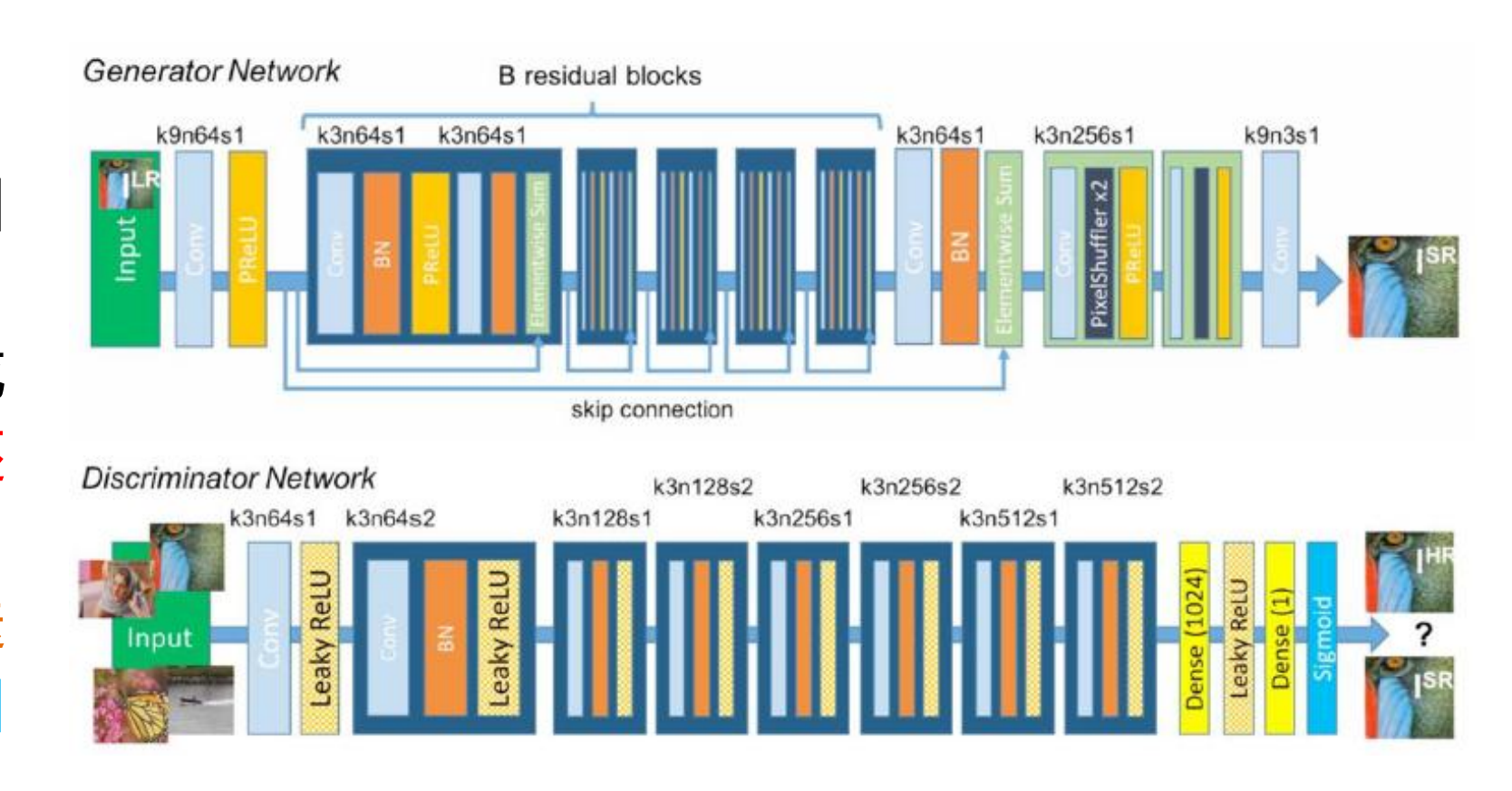
智能插帧

常见的超分辨率方法包括插值算法和生成学习算法。相对于传统的双三次插值及单纯的 CNN模型SRResNet,基于<mark>生成对抗网络</mark>的SRGAN网络可以重建出细节更出众的超分辨率图像。

基于GAN重建的图像超分辨率

SRGAN

- 训练阶段
- ✓ 生成器将输入的低分辨率图 像生成高分辨率图像。
- ✓ 判別器判別输入图像是生成器生成的高分辨率图像,还是原始的高分辨率图像
- ✓ 生成器和判别器通过交替迭代,最终使生成器生成的图像更接近于原始高分图像

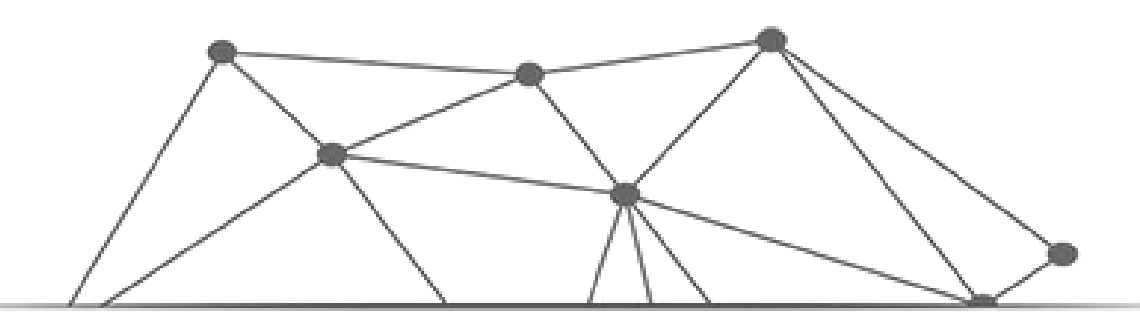


● **测试阶段**,**生成器**将实现对输入的低分辨率图像的超分辨率重建

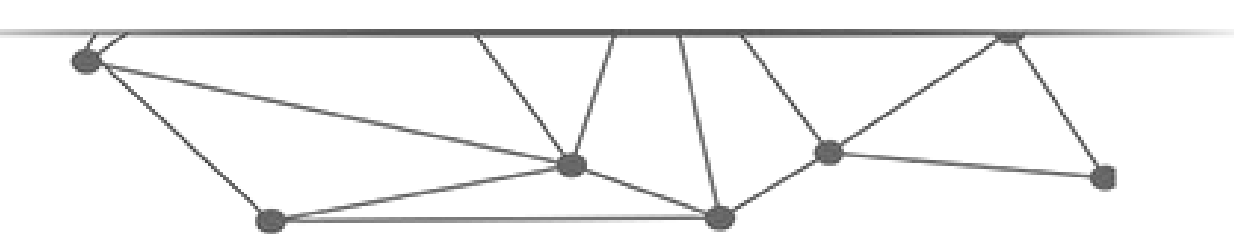
超像素

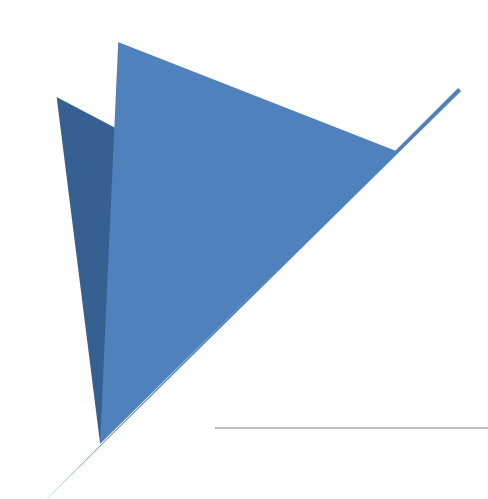


- 超像素(Superpixels)是一系列像素的集合,这些像素具有相似的颜色、纹理等特征,距离比较近。
- 超像素区域保留了进一步分割的 有效信息,且不破坏图像中物体 的边界信息。
- 超像素大大减小图像处理的规模, 带来计算上的优势,常被应用到 计算机视觉的前期处理中。



课堂互动 13.4.4



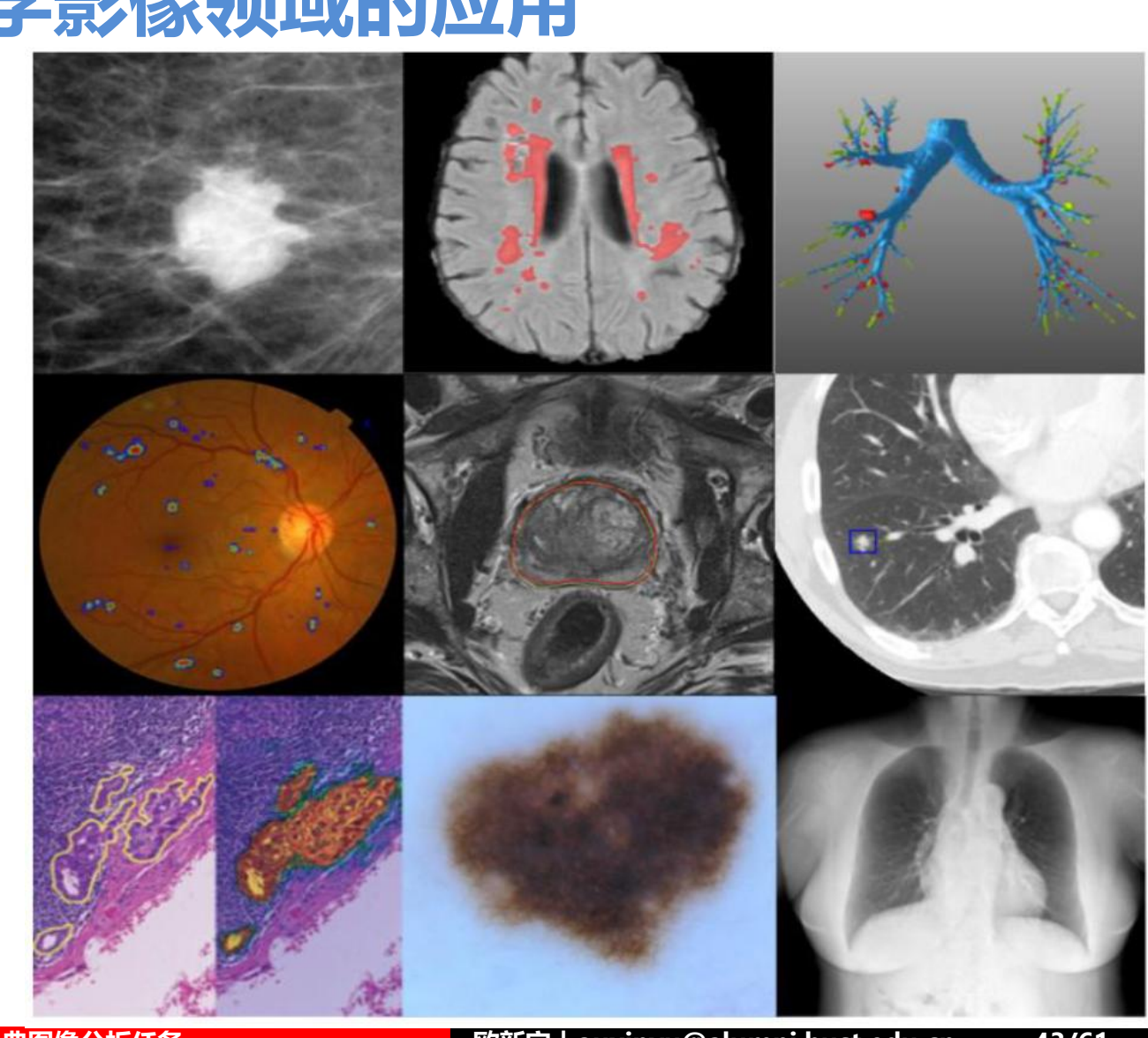


深度学习在医学影像领域的应用

深度学习常规任务(分类、检测、分割) 在医学影像领域的应用:

例如: 乳腺肿块分类任务、脑损伤部位的分割、气道树病变部位分割检测,糖尿病视网膜病变分类,前列腺分割,结节分类,淋巴结中的乳腺癌转移检测,皮肤病变分类,x射线骨髓抑制检测等

可见,深度学习技术在医学影像分析领域应用十分广泛。

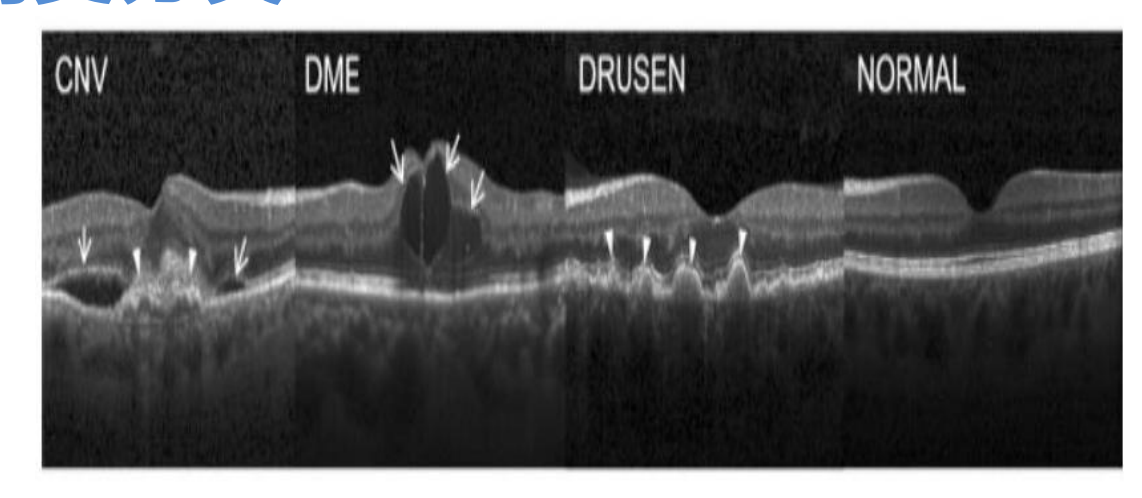


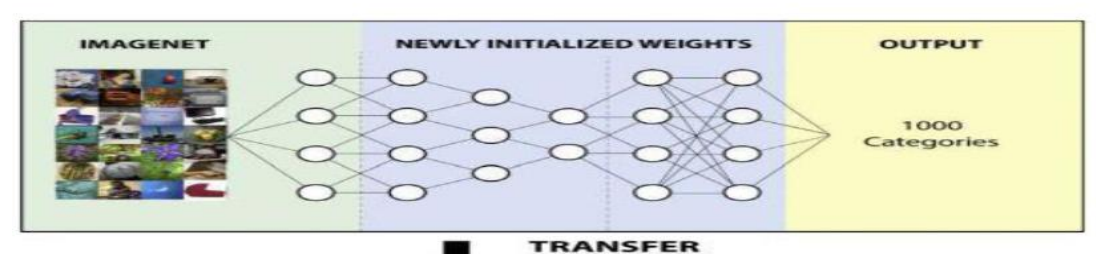
实例1 - 眼底病变分类

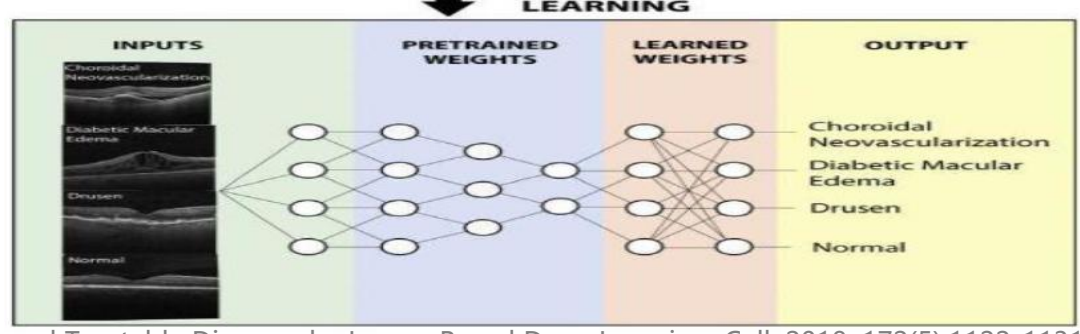
在美国,近1000万人患有年龄相关性黄斑变性,近75万名年龄在40岁以上的人患有糖尿病性黄斑水肿,视网膜OCT图像对于指导治疗方案至关重要。

右图给出了脉络膜新生血管(CNV),糖尿病性黄斑水肿(DME),玻璃疣(DRRUSEN)与正常(Normal)四种情况下的OCT图像。

2018年,加州大学圣迭戈分校的张康课题组在顶级期刊 Cell上发表了用于精确诊断致盲性视网膜疾病的论文,实 现了图像精准分类并荣登封面。







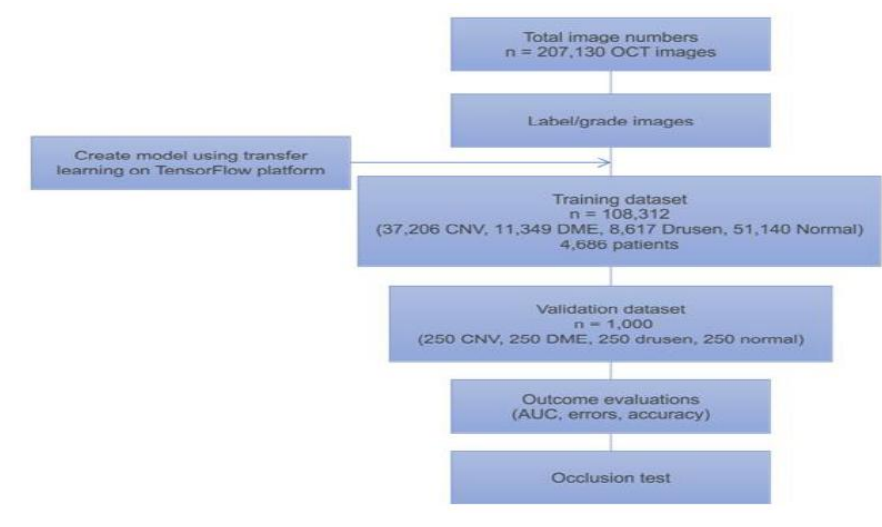
Kermany DS, Goldbaum M, Cai W, et.al. Identifying Medical Diagnoses and Treatable Diseases by Image-Based Deep Learning. Cell, 2018, 172(5):1122-1131

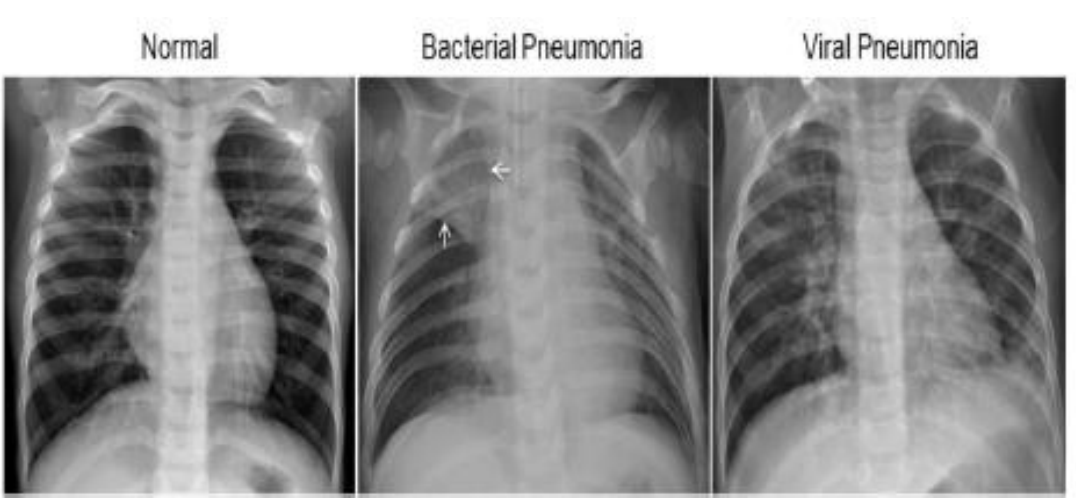
实例2 - 肺炎胸片鉴别

方法流程

- 1. 采集OCT图像数据,并请专家进行标注
- 2. 训练CNN分类模型,并在验证集上进 行评价
- 3. 对预测图像进行预测

该方法与人类专家观察结果对比,发现在诊断 眼底病变分类的评估指标上高于人类专家,且 更稳定。该方法迁移到肺炎胸片的鉴别准确度 高达90%以上。



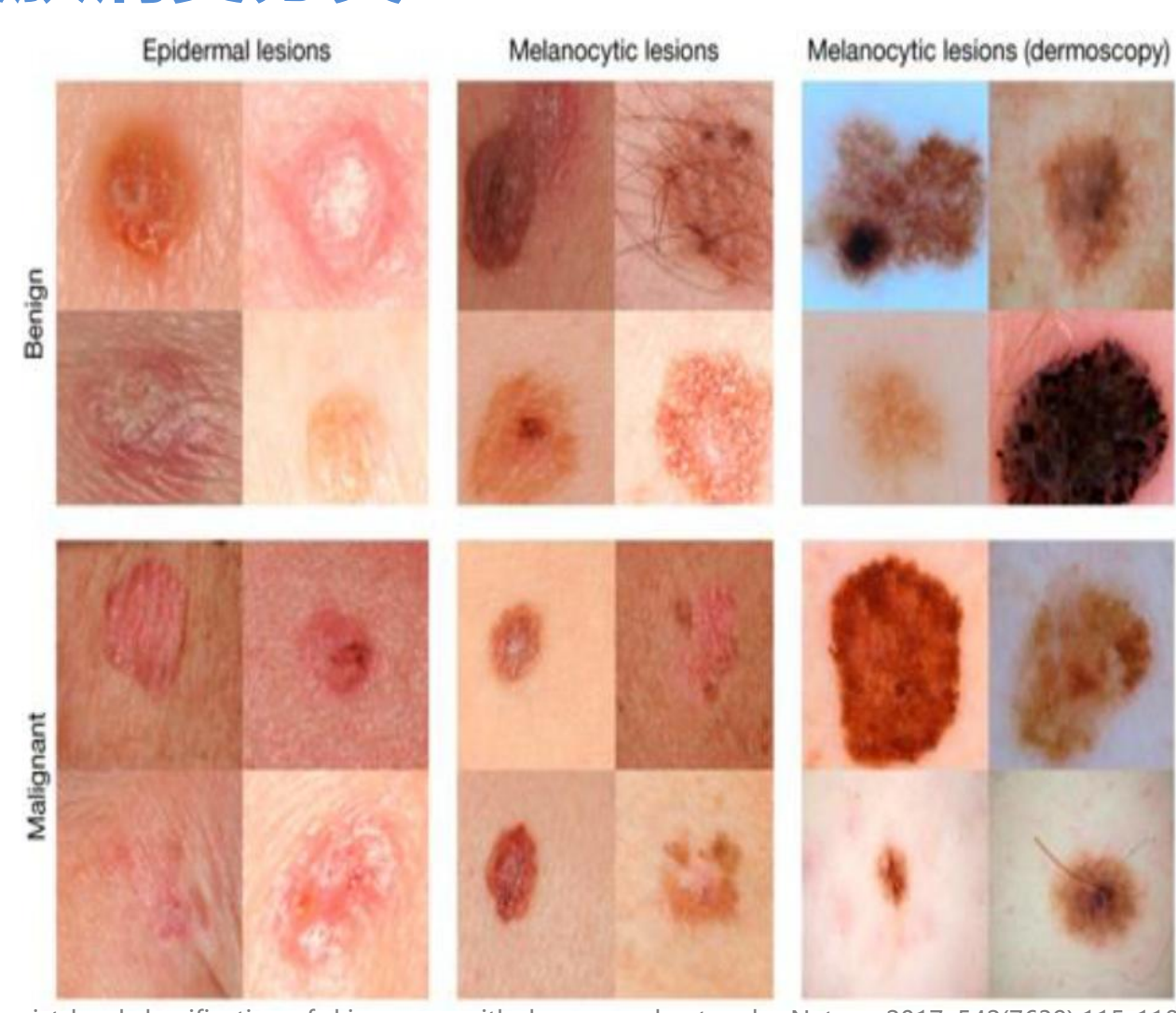


Kermany DS, Goldbaum M, Cai W, et.al. Identifying Medical Diagnoses and Treatable Diseases by Image-Based Deep Learning. Cell, 2018, 172(5):1122-1131

实例2 - 皮肤病变分类

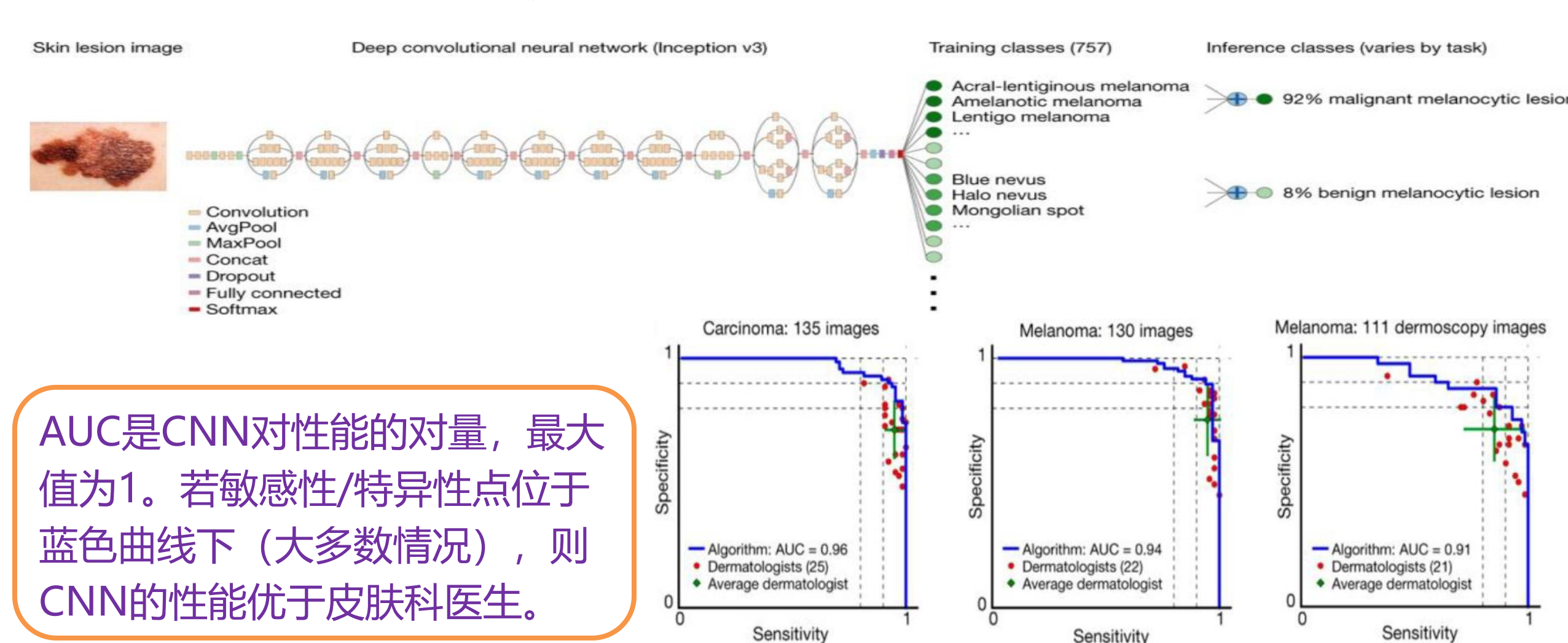
美国每年有540万新皮肤癌病例,其中五分之一被诊断为恶性肿瘤。其中黑色素瘤占5%,但致死率高大75%,仅美国每年死于该病的就超过10000人。早期检测对于治愈该病至关重要,如果早期检测到,则五年死亡率从99%降低到14%。

Andre Esteva团队基于GoogleNet v3设计了一个病变分类器,其准确度笔皮肤科医生更优越,论文发表在国际顶级期刊Neture上。



Esteva A, Kuprel B, Novoa R A, et. Al. Dermatologist-level classification of skin cancer with deep neural networks. Nature. 2017, 542(7639):115-118

实例2 - 皮肤病变分类



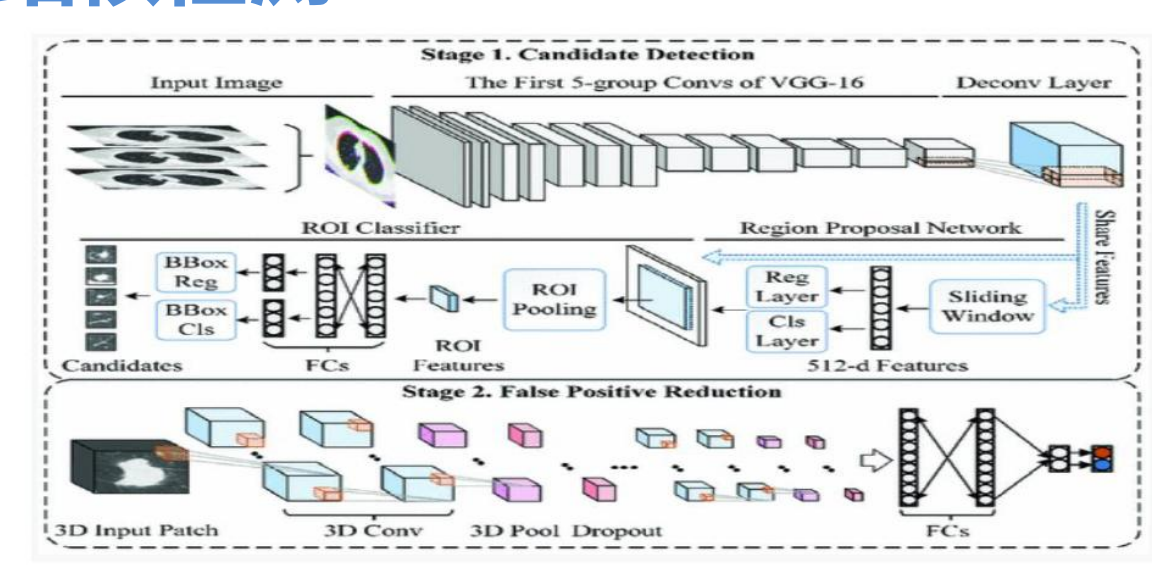
Esteva A, Kuprel B, Novoa R A, et. Al. Dermatologist-level classification of skin cancer with deep neural networks. Nature. 2017, 542(7639):115-118

实例3 - 肺结核检测

肺癌早期发现是提高患者生存机会最有希望的方法。计算机断层扫描(CT)图像中准确的肺结节检测是诊断肺癌的关键步骤。

贾丁等人在阿里天池肺结节检测比赛中 提出一种基于深度卷积神经网络的方法,该 方法获得了极佳的性能。基本步骤如下

- 1. 使用Faster RCNN进行病变区域检测
- 2. 使用3DCNN进行假阳性样本减除



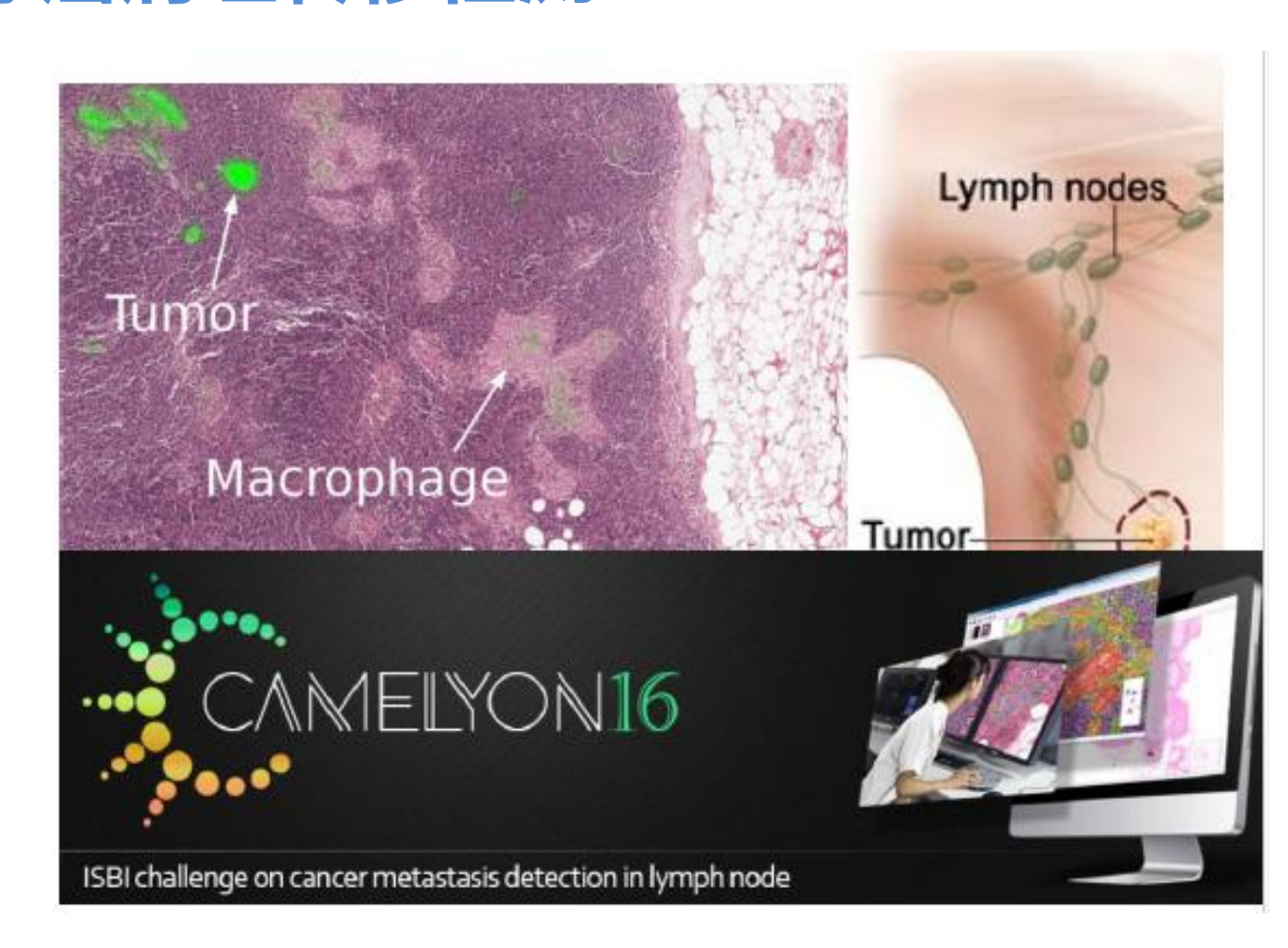
System	Sensitivity
ISICAD	0.856
SubsolidCAD	0.361
LargeCAD	0.318
M5L	0.768
ETROCAD	0.929
Baseline(w/o deconv)	0.817
Baseline(4 anchors)	0.895
Ours	0.946

Ding J, Li A, Hu Z, et. al. Accuracy Pulmonary Nodule Detection in Computed Tomography Image Using Deep Convolutional Neural Network. 2017.

实例4-乳腺癌病理转移检测

Camelyon 2016/2017挑战赛

- 任务
- ✓ 根据全片扫描图像H&E染色(WSI), 判断乳腺癌是否转移
- ✓ 定位乳腺癌向邻近淋巴结扩散的位置
- 数据集
- ✓ *Camelyon16*, 训练集270张, 测试集130张, 数据量700GB
- ✓ *Camelyon17*, 训练集50张, 测试集 500张, 数据量2.25TB ______

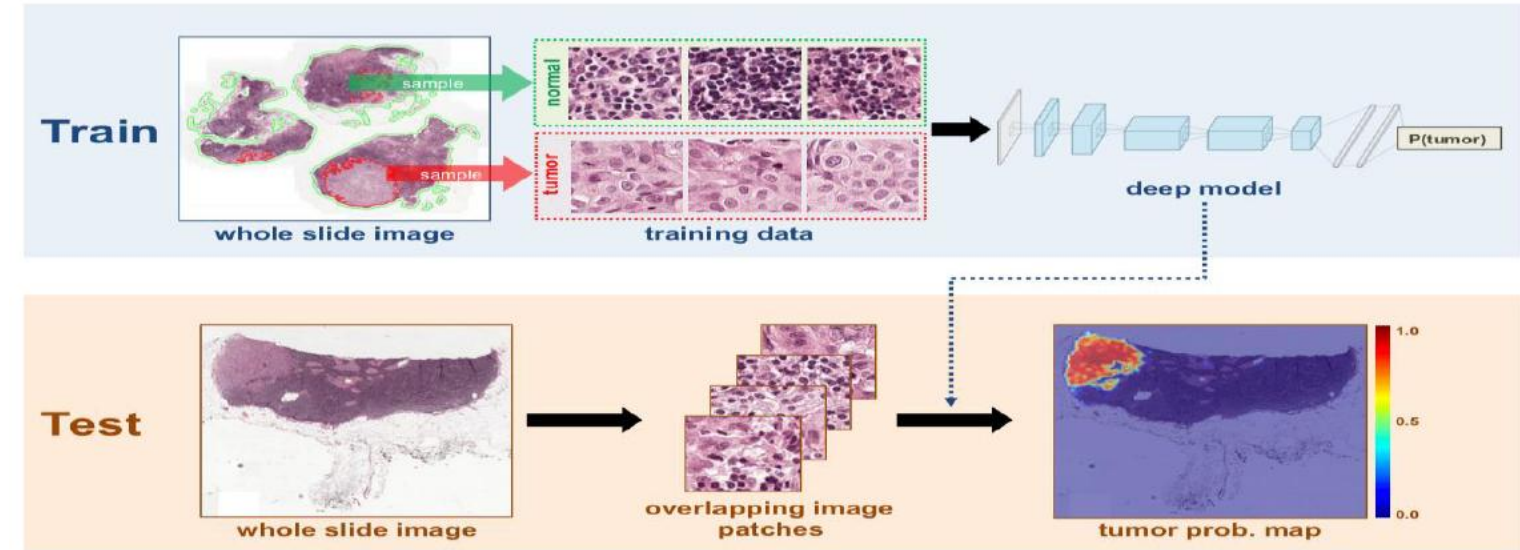


医学图像数据集的特点:样本少,单样本文件大

实例4-乳腺癌病理转移检测

哈佛医学院采用基于深度学习的方法屡获Camelyon的冠军

- □ 训练一个卷积神经网络对图像的patch进行分类(tumor or normal)
- ■整合patch级预测结果构建肿瘤可能存在的热图(hotmap)
- □ 预测全片并定位肿瘤区域



将病理学诊断和深度学习系统预测结果相结合,可以将病理学家的AUC得分提高至0.995,这意味着将减少近85%的人为误判。

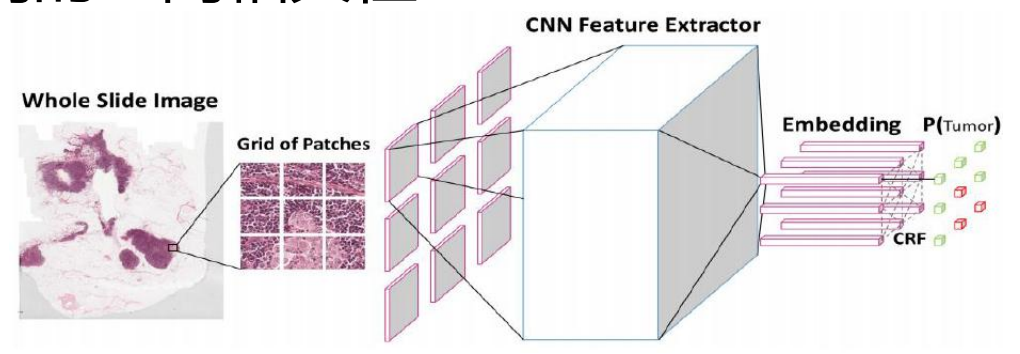
50/61

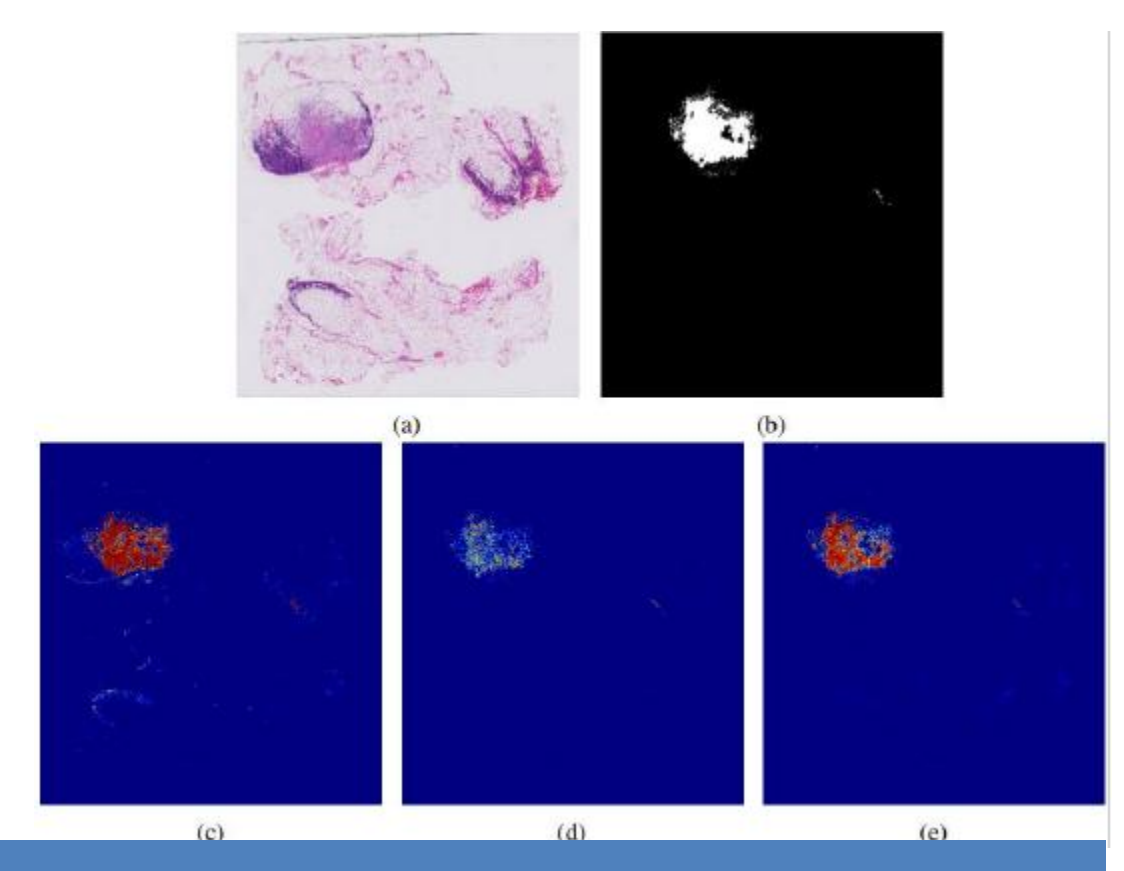
实例4-乳腺癌病理转移检测

2018年百度提出NCRF

- □基于resnet18和resnet34架构
- 整合CNN和条件随机场建模相邻patch之

间的空间相关性





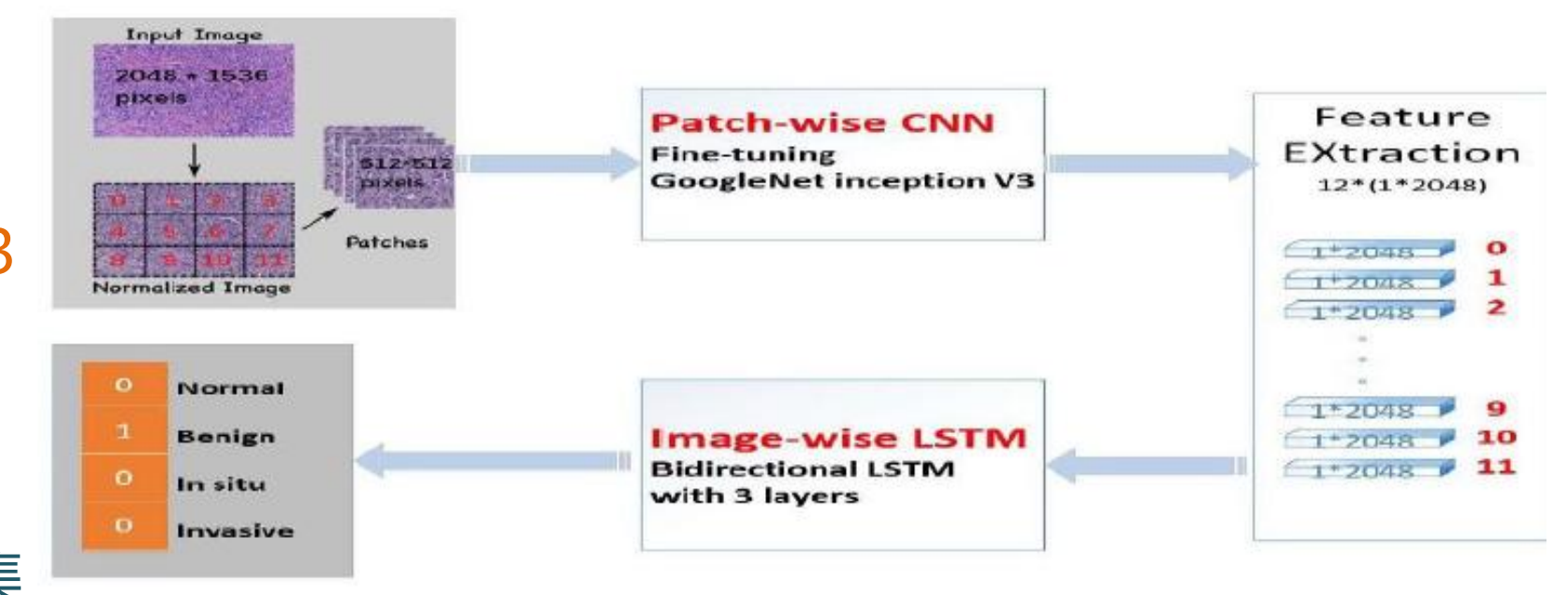
NCRF获得了更好视觉质量的patch预测的可能性热图。同时,NCRF在Camelyon16的检测任务上超过Baseline(人工识别)。

Li Y, Ping W. Cancer Metastasis Detection with Neural Conditional Random Field. 2018

实例4-乳腺癌病理转移检测

2018年中科院计算所提出CNN+LSTM的方案

- □ 提出Inception-v3和LSTM 的混合架构
- □ 将CNN提取的特征送入到3 层双向LSTM
- □ 同时发布了一个包含1568 个乳腺癌病例图像的数据集



Rui Yan, et. al. A Hybird Convolutional and Recurrent Deep Neural Network for Breast Cancer Pathological Image Classification. 2018



文字检测简介

文字检测是文字识别的前提

● 任务

给定一张图片,找出图片中文字出现的 所有位置。



- ✓ 文字存在多种分布
- ✓ 文字排布形式多样
- ✓ 文字存在多个方向
- ✓ 文字形变严重
- ✓ 多种语言混合





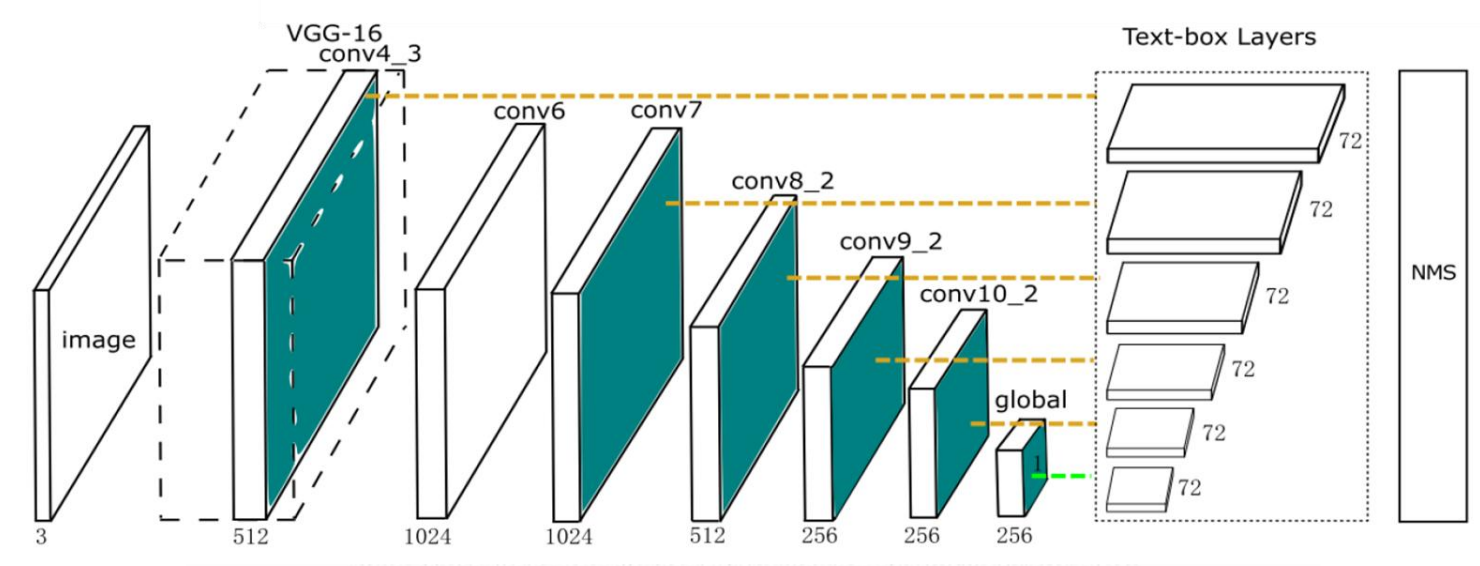




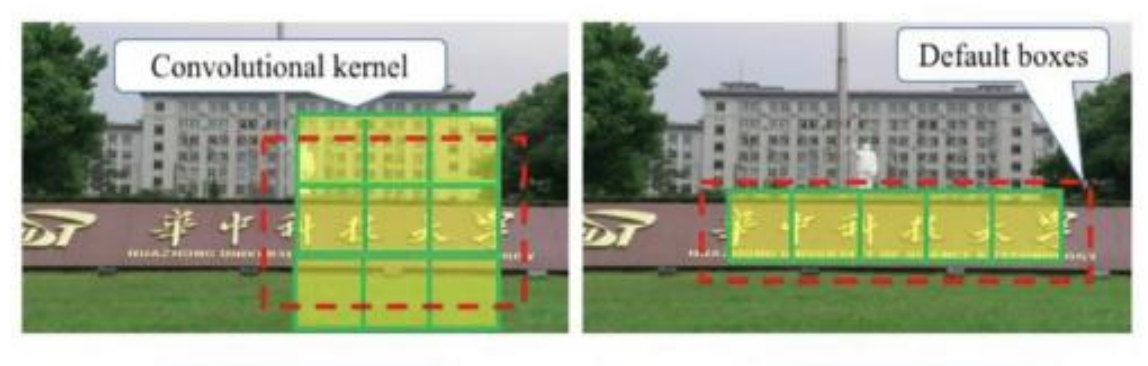
TextBoxes与SSD类似,主干网络继承自VGG16。

- 保留conv1_1-conv4_3用于图像特征提取;
- 2. 通过多尺度的方法提取6个不同尺寸的特征,送入TextBox Layers; 其中卷积核尺度改为1*3,以适应长文本
- 3. 输出若干个可能存在文字的区域候选框。
- 4. 经过NMS得到最终的预测区域。

TextBoxes



Long convolutional kernels and default boxes



SSD: 3*3 cony



TextBoxes: 1*5 conv.

Liao M, Shi B, Bai X, et al. TextBoxes: A Fast Text Detector with a Single Deep Neural Network. AAAI 2017.

TextBoxes++

● TextBoxes存在的问题

Default box (anchor) 的水平框,不能很好检测倾斜文字 (如右图所示)。

● TextBoxes++的改进

- ✓ 边 界 框 的 表 示 改 为 四 边 形 (x1,y1,x2,y2,x3,y3,x4,y4)
- ✓ 卷积尺度改变1*5 => 3*5, 适应倾斜文本
- ✓ 级联NMS和OHEM策略的应用
- ✓ 多尺度训练以适应不同尺度的目标



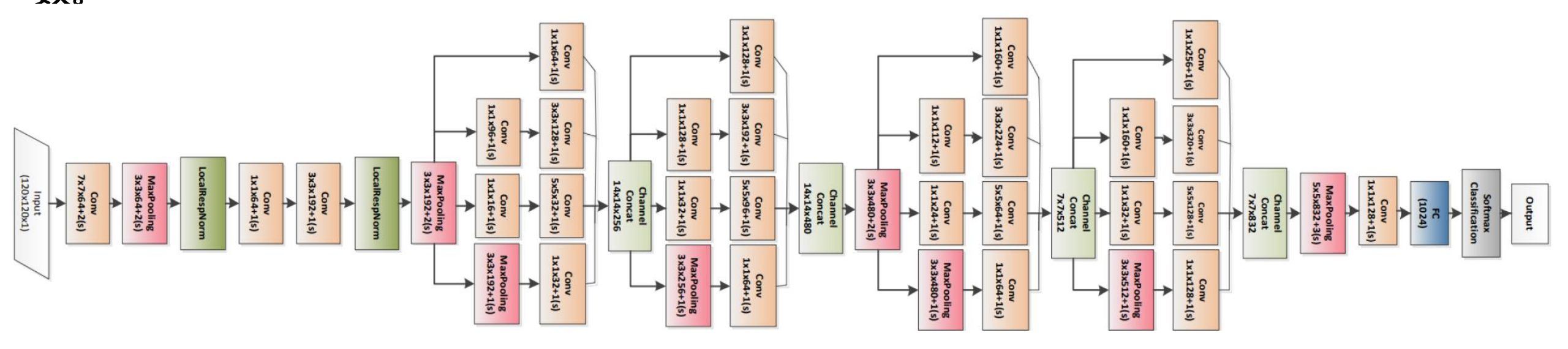


在后续的研究中,有人提出形变网络,大大改进了倾斜字符的识别能力

文字识别 - CNN单字识别

HCCR-GoogLeNet

在ICDAR2013离线手写汉字识别竞赛数据集上达到96.35%的准确率。HCCR模型共19层,由Inception模块组成,该模型可以识别单个文字及文字片段,并输出识别分数。



文字识别 - 集束搜索

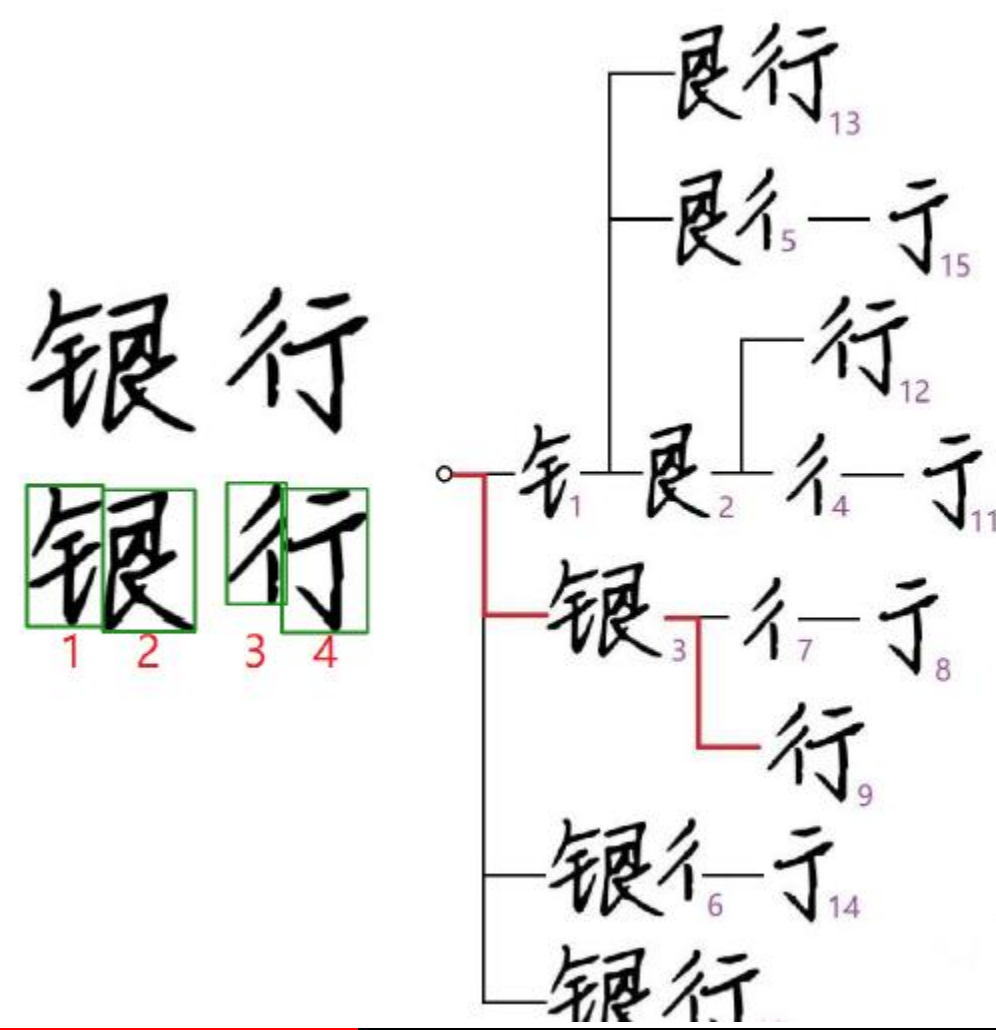
● 集束搜索

使用集束搜索,将过分隔后的文

字片段组合成正确的识别结果。

● 集束搜索的依据

- ✓ 单个文字片段的识别分数
- ✓ 前后文字片段的语义关系
- ✓ 文字片段的最大组合数



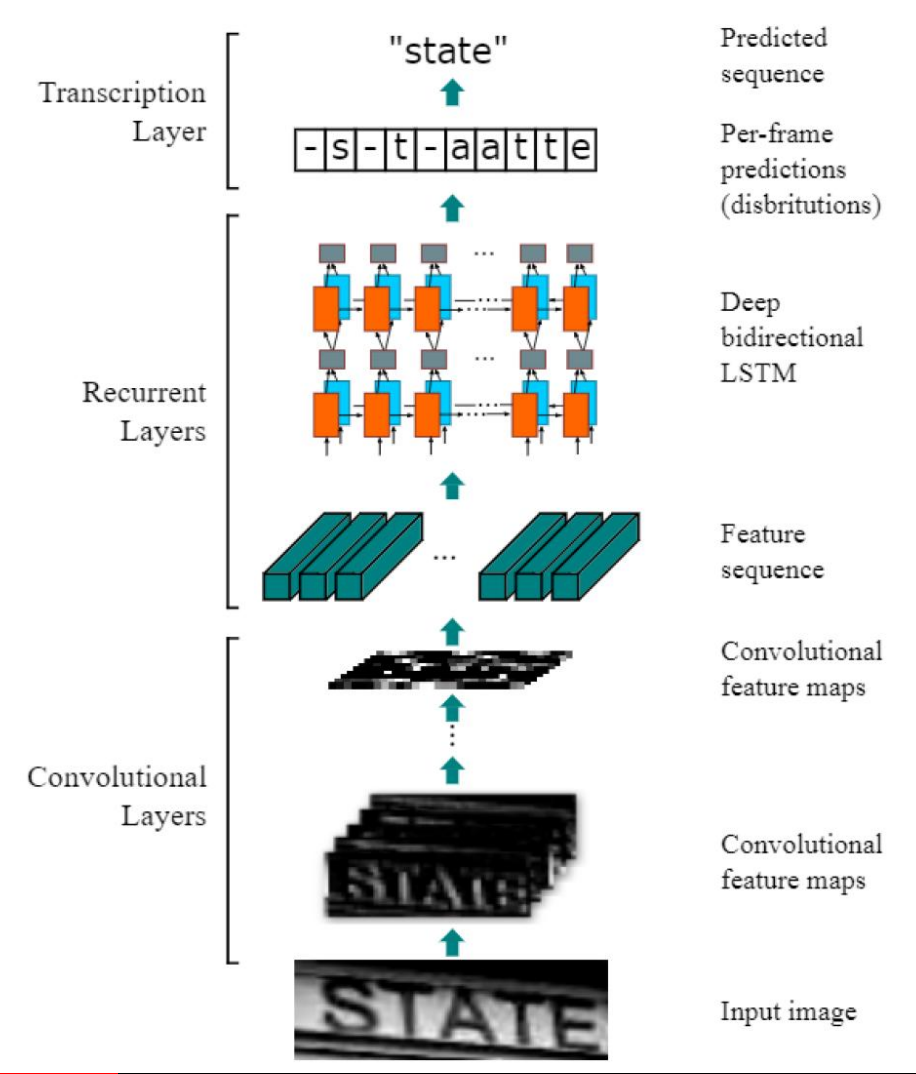
文字识别 - 无分割方法

CRNN

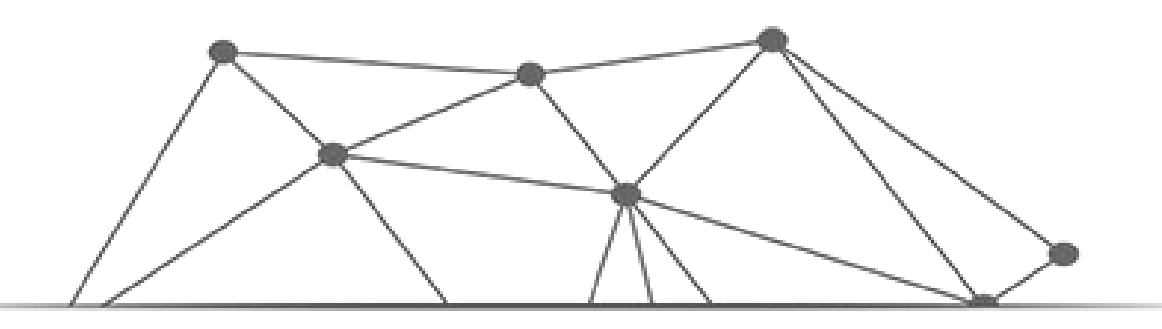
端到端识别文本行图像,无需分割过程。

基本步骤

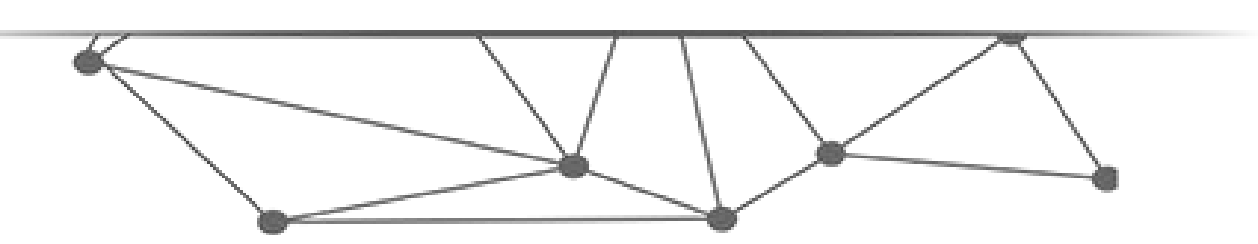
- 1. 卷积层: 从输入图像中提取特征序列表示
- 2. 循环层: 使用LSTM预测特征序列中每个特征向量的概率分布
- 3. 转录层: 使用CTC将预测的概率序列转换成最终识别结果



Baoguang Shi, Xiang Bai, Cong Yao. An End-to-End Trainable Neural Network for Image-Based Sequence Recognition and Its Application to Scene Text Recognition. IEEE TPAMI 2017:2298-2304



课堂互动 13.4.5



欧老师的联系方式

